

รายงานการวิจัย

การบดอัดแบบพลีอกเตอร์โดยใช้แบบบดอัดขนาดเล็ก (A Smaller Mold – Proctor Compaction Test)

คณะผู้วิจัย

หัวหน้าโครงการ
ผู้ช่วยศาสตราจารย์ ดร.อวิรุทธิ์ ชินกุลกิจนิวัฒน์
สาขาวิชาวิศวกรรมโยธา
สำนักวิศวกรรมศาสตร์
มหาวิทยาลัยเทคโนโลยีสุรนารี

ได้รับทุนอุดหนุนจากมหาวิทยาลัยเทคโนโลยีสุรนารี ปีงบประมาณ 2551
ผลงานวิจัยเป็นความรับผิดชอบของหัวหน้าโครงการเพียงผู้เดียว

กันยายน 2552

กิตติกรรมประกาศ

งานวิจัยนี้สามารถเสร็จสมบูรณ์ได้ จากความร่วมมือจากบุคคลและหน่วยงานต่างๆที่เกี่ยวข้อง โดยเฉพาะอย่างยิ่งมหาวิทยาลัยเทคโนโลยีสุรนารี ซึ่งไปผู้อุดหนุนทุนวิจัยปีงบประมาณ 2551 ผู้เขียนขอขอบคุณ รศ.ดร.สุขสันต์ หอพินิจสุข สำหรับการแลกเปลี่ยนความคิดเห็นเชิงวิชาการซึ่งเป็นประโยชน์ต่อการศึกษานี้ นอกจากนี้ผู้เขียนขอขอบคุณ ดร.ณรงค์ อัครพัฒนาภูล ผู้อำนวยการศูนย์เครื่องมือวิทยาศาสตร์และเทคโนโลยี ของมหาวิทยาลัยเทคโนโลยีสุรนารี และบุคลากรของศูนย์เครื่องมือฯ โดยเฉพาะอย่างยิ่ง นายดิงศักดิ์ เหลืองเจริญพิพัฒ์ ที่ให้ความสำคัญในการปฏิบัติงาน สุดท้ายนี้ผู้เขียนแสดงความขอบคุณไปยัง นายเอกชัย ม่านโภกสูง และนายพัทธยา หนองสีหา ผู้ช่วยวิจัยและนักศึกษาหลักสูตรวิศวกรรมศาสตร์บัญชี สาขาวิชาบริหารธุรกิจ ที่ทำงานอย่างอุตสาหกรรมมาตลอดระยะเวลาของโครงการ

อวิรุทธิ์ ชินกุลกิจนิวัฒน์
หัวหน้าโครงการวิจัย
กันยายน 2552

บทคัดย่อ

การบดอัดดินเป็นวิธีพื้นฐานในการปรับปรุงคุณภาพดินสำหรับงานก่อสร้าง โครงสร้างดิน ในทุก ๆ วันที่โลกมีการบดอัดดินเป็นจำนวนนับพันลูกบาศก์เมตร ซึ่งการทดสอบการบดอัดดินแบบมาตรฐานพล็อกเตอร์ (ASTMD 698-91) หรือสูงกว่ามาตรฐานพล็อกเตอร์ (ASTMD 1557-91) เป็นวิธีการทดสอบบดอัดที่นิยมใช้กันอย่างแพร่หลาย เพื่อใช้ในการควบคุมการบดอัดดินในสนาม อย่างไรก็ตามเนื่องจาก การทดสอบการบดอัดดินแบบมาตรฐานพล็อกเตอร์ จะต้องใช้เวลาและแรงงานคนในการทดสอบบดอัดมาก การใช้ชุดทดสอบที่มีขนาดเล็กลงจึงเป็นสิ่งที่น่าพิจารณา เพื่อให้การพัฒนาชุดทดสอบขนาดเล็กเป็นไปอย่างมีประสิทธิภาพ วิทยานิพนธ์นี้จึงทำการศึกษาอิทธิพลของคุณลักษณะชุดทดสอบที่เปลี่ยนแปลงเนื่องจากการลดลงของขนาดของชุดทดสอบค่าผลทดสอบการบดอัดดิน ชุดทดสอบการบดอัดดินขนาดเล็กที่เสนอ มีคุณลักษณะของชุดทดสอบใกล้เคียงกับคุณลักษณะของชุดทดสอบการบดอัดแบบมาตรฐานพล็อกเตอร์ จึงทำให้ง่ายต่อการนำไปใช้งานจริงในห้องปฏิบัติการ ประพีกลศาสตร์ ผลทดสอบการบดอัดด้วยชุดทดสอบการบดอัดที่เสนอ มีค่าใกล้เคียงกับผลทดสอบการบดอัดแบบมาตรฐานพล็อกเตอร์ อย่างไรก็ตาม ชุดทดสอบการบดอัดที่เสนอสามารถใช้ทดสอบการบดอัดได้เฉพาะกับดินที่ไม่มีกรวดป่น และเพื่อให้ชุดทดสอบการบดอัดที่เสนอสามารถใช้ได้กับดินป่นกรวด วิทยานิพนธ์นี้จึงได้ศึกษาอิทธิพลของกรวดต่อผลทดสอบการบดอัดดิน จากผลการศึกษาพบว่าปริมาณกรวดจะเป็นตัวควบคุมการถ่ายทอดพลังงานการบดอัดไปสู่ส่วนละเอียด (Fine fraction) รวมทั้งคุณลักษณะการบดอัดของส่วนละเอียด เมื่อสร้างความสัมพันธ์ระหว่างปริมาณกรวดและพลังงานการบดอัดที่ถ่ายทอดไปสู่ส่วนละเอียด และนำไปใช้ในการประมาณค่าความหนาแน่นแห้งสูงสุดและความชื้นที่เหมาะสมของดินป่นกรวด พนวจว่าคุณลักษณะการบดอัดของดินป่นกรวดที่ได้จากการประมาณสอดคล้องกับค่าที่ได้จากการทดสอบการบดอัดแบบมาตรฐานพล็อกเตอร์ .

Abstract

Compaction is a classical ground improvement method for earth structures. Everyday thousands of cubic meter of soil are compacted throughout the world. Proctor test (e.g. ASTM D698-91 and ASTM D1557-91) is widely used to characterize soil compatibility for proper control over the field compaction. However, this procedure is time consuming and labor intensive. Thus, a smaller compaction apparatus is considered. For effectively introducing a new smaller apparatus, influence of changing equipment characteristics due to a reducing size of compaction apparatus must be investigated. The proposed apparatus is similar to the standard Proctor apparatus and is easy to introduce into any soil mechanics laboratory. The maximum dry density and the optimum water content yielded from the proposed compaction apparatus are in excellent agreement with those yielded from the standard Proctor procedure. However, the proposed apparatus is valid only for non-gravel soil. To extend the validity of the proposed apparatus, influence of gravels on standard Proctor test results are investigated. It is found that the gravel content play a major role in controlling the transmitted compaction energy and thus the compaction characteristic of the fine fraction. Relationship between the gravel content and the transmitted compaction energy is established. This relationship is employed to estimate the maximum dry density and the optimum water content of gravelly soil. Good agreement is found for comparison between the estimated values and the corresponding values from standard Proctor test.

สารบัญ

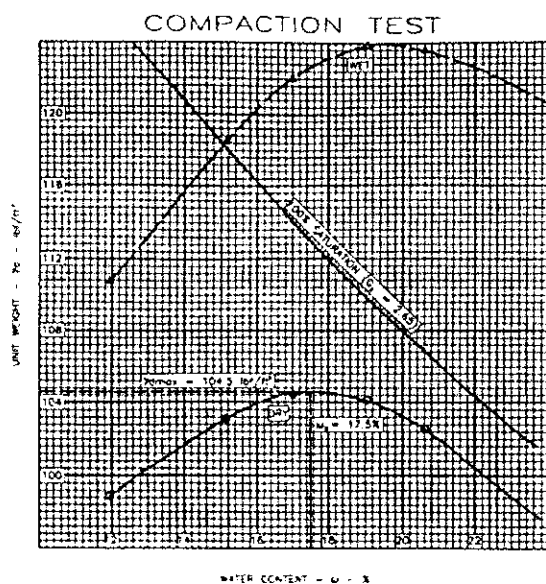
กิตติกรรมประกาศ -----	ก
บทคัดย่อภาษาไทย -----	ข
บทคัดย่อภาษาอังกฤษ -----	ค
สารบัญ -----	ง
บทที่ 1 บทนำ -----	1
1.1 ความสำคัญและที่มาของปัญหา -----	1
1.2 วัตถุประสงค์ -----	2
1.3 ขอบเขตการศึกษา -----	2
บทที่ 2 ปริศนาระยะงานวิจัยที่เกี่ยวข้อง -----	3
บทที่ 3 การพัฒนาชุดทดสอบการบดอัดข้าวนาดเล็ก -----	9
3.1 การศึกษาอิทธิผลการลดขนาดของแบบบดอัดดิน -----	9
3.2 ชุดทดสอบการบดอัดขนาดเล็ก -----	13
บทที่ 4 อิทธิพลของกรวดต่อผลทดสอบการบดอัดดิน -----	18
4.1 ตัวอย่างดินและวิธีการศึกษา -----	18
4.2 ผลทดสอบและวิเคราะห์ -----	19
4.3 ความสัมพันธ์ระหว่างผลดั้งงานบดอัดและปริมาณกรวด -----	27
4.4 การประมาณคุณลักษณะการบดอัดของดินป่นกรวด ด้วยชุดทดสอบการบดอัดขนาดเล็ก -----	31
บทที่ 5 ผลทดสอบ -----	36
5.1 ผลทดสอบการบดอัดดินด้วยชุดทดสอบการบดอัดขนาดเล็ก -----	36
5.2 เปรียบเทียบผลการประมาณคุณลักษณะของดินป่นกรวด -----	38
บทที่ 6 สรุป -----	41
เอกสารอ้างอิง -----	43

บทที่ 1

บทนำ

1.1 ความสำคัญและที่มาของปัจจัย

การบดอัดคินเป็นวิธีพื้นฐานในการปรับปรุงคุณภาพดิน และถูกใช้อ้างแพร่หลายในงานก่อสร้าง โครงสร้างคิน ฯลฯ โดยในการเลือกวัสดุที่จะนำมาบดอัดเป็นโครงสร้างคินจะต้องเลือกจากแหล่งคินหรือบ่อขุด (Borrow pit) ที่มีความเหมาะสม โดยนำคินมาทดสอบหาคุณลักษณะการบดอัด (Compaction characteristics) ในห้องปฏิบัติการ โดยร่างเส้นโค้งแสดงความสัมพันธ์ระหว่างความหนาแน่นแห้งของคินที่ได้รับการบดอัดกับความชื้นของคินบดอัด เรียกว่าเส้นโค้งการบดอัด (Compaction curve) ดังรูปที่ 1.1 จากรูปแกนตั้งเป็นแกนของความหนาแน่นแห้ง และแกนนอนเป็นแกนของความชื้นในคินบดอัด ค่าความหนาแน่นแห้งที่สูงสุดของเส้นโค้งคือความหนาแน่นแห้งสูงสุด (Maximum dry density: $\rho_{d\max}$) และความชื้นที่ความหนาแน่นแห้งสูงสุดคือความชื้นที่เหมาะสม (Optimum water content: w_{opt}) หลังจากนั้นมี่อนำคินไปทำการบดอัดจริงในสนาม คุณลักษณะการบดอัดที่ได้จากการทดสอบในห้องปฏิบัติการจะถูกนำมาใช้ในการกำหนดและควบคุมคุณภาพการบดอัดในสนาม



รูปที่ 1.1 เส้นโค้งการบดอัด

การทดสอบการบดอัดในห้องปฏิบัติ โดยมักนิยมทำการทดสอบแบบมาตรฐานพลีอกเตอร์ (ASTM D698-91) หรือสูงกว่ามาตรฐานพลีอกเตอร์ (ASTM D1557-91) แต่แบบมาตรฐานที่กำหนดไว้ตามมาตรฐานการทดสอบยังมีข้อดีใหญ่ทำให้ต้องใช้ปริมาณคินตัวอย่างในการทดสอบ เป็นจำนวนมาก รวมทั้งการทดสอบยังใช้ระยะเวลาการทดสอบ และแรงงานมาก ดังนั้นหากสามารถลดขนาดของแบบที่ใช้ในการทดสอบบดอัดคินได้จะสามารถลดปริมาณคินตัวอย่าง

ระยะเวลาที่ใช้ทดสอบ และค่าใช้จ่ายในการข้างแรงงานคนในการทดสอบ ซึ่งการลดขนาดของแบบลงมาเป็นต้องทำการศึกษาอิทธิพลของการลดขนาดของแบบเพื่อนำผลการศึกษาไปใช้ในการปรับปรุงชุดทดสอบ ได้อย่างมีประสิทธิภาพ อย่างไรก็ตามการลดขนาดของแบบลงมีผลทำให้แบบบดขี้ดใช้ได้กับдинเม็ดละเอียดเท่านั้น ดังเช่นผลการศึกษาของ Donaghe and Torrey ในปี ค.ศ. 1994 Garga and Madureira ในปี ค.ศ. 1985 Holtz and Lowitz ในปี ค.ศ. 1957 Donaghe and Townsend ในปี ค.ศ. 1976 และ Winter et al. ในปี ค.ศ. 1998 จึงจำเป็นที่จะต้องศึกษาอิทธิพลของกรวดที่ส่งผลกระบวนการต่อผลการทดสอบบดอัดดินด้วย อันจะนำไปสู่ข้อสรุปในการพัฒนาและปรับปรุงชุดทดสอบการบดอัดขนาดเล็กให้ใช้ได้กับдинทุกประเภท

1.2 วัตถุประสงค์

เพื่อเสนอวิธีการใช้ชุดทดสอบการบดอัดขนาดเล็กในการทดสอบกับдинทุกประเภท

1.3 ขอบเขตการศึกษา

1. ศึกษาอิทธิพลนีองจากการเปลี่ยนแปลงคุณลักษณะของชุดทดสอบการบดอัดดิน ได้แก่ การเปลี่ยนแปลงอัตราส่วนระหว่างเส้นผ่านศูนย์กลางค่อนต่อเส้นผ่านศูนย์กลางแบบบดอัดดิน (Diameter ratio: DR) จำนวนของชั้นดินบดอัดในแบบ น้ำหนักค่อนบดอัดดิน และระเบะตอกของค่อนบดอัดดิน ต่อผลการทดสอบบดอัดดินตามมาตรฐานพลีอคเตอร์

2. เสนอชุดทดสอบการบดอัดขนาดเล็กที่สามารถใช้แทนชุดทดสอบการบดอัดแบบ มาตรฐานพลีอคเตอร์

3. ศึกษาอิทธิพลของกรวดต่อผลการทดสอบบดอัดแบบมาตรฐานพลีอคเตอร์ โดยใช้กรวด 2 ขนาด คือกรวดที่ค้างตะแกรงเบอร์ 3/8 (9.5 มิลลิเมตร) และกรวดที่ค้างตะแกรงเบอร์ 4 (4.75 มิลลิเมตร) ผสมในดิน 5 ประเภท ด้วยอัตราส่วน 0, 10, 20, 30 และ 40 เปอร์เซ็นต์

บทที่ 2

ปริทัศน์วรรณกรรมงานวิจัยที่เกี่ยวข้อง

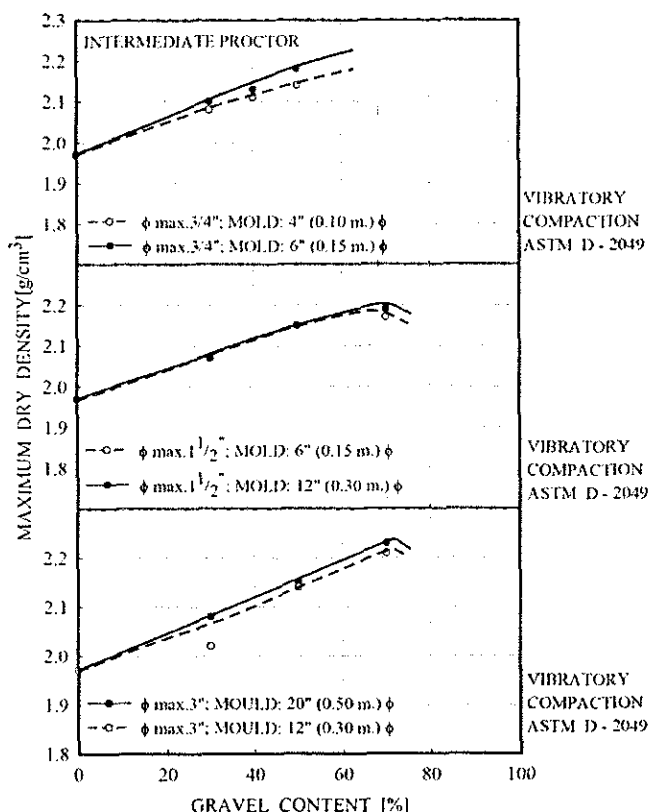
มาตรฐานการทดสอบบดอัดในห้องปฏิบัติการของสมาคมทดสอบและวัสดุแห่งอเมริกา เป็นวิธีการทดสอบการบดอัดดินที่ได้รับความนิยมและใช้กันอย่างแพร่หลาย โดยแบ่งเป็นการทดสอบการบดอัดดินแบบมาตรฐานพล็อกเตอร์ (ASTM D 698-91) และการบดอัดดินแบบสูงกว่า มาตรฐานพล็อกเตอร์ (ASTM D 1557-91) การบดอัดทั้งสองประเภททำการบดอัดดินลงในแบบทรงกระบอก (Mold) ซึ่งมีขนาดเส้นผ่านศูนย์กลาง 101.6 มิลลิเมตร หรือแบบขนาดเส้นผ่านศูนย์กลาง 152.4 มิลลิเมตร โดยแบบทั้งสองมีความสูง 116.4 มิลลิเมตร การเลือกใช้แบบบดอัดในการทดสอบการบดอัดจะขึ้นอยู่กับปริมาณและขนาดของกรวดที่ผสมอยู่ในดินรายละเอียดแสดงในตารางที่ 2.1 โดยแบบบดอัดขนาดเส้นผ่านศูนย์กลาง 101.6 มิลลิเมตร จะใช้ในการทดสอบการบดอัดดินตัวอย่างที่มีกรวดผสมอยู่ไม่เกิน 20 เปอร์เซ็นต์ หากตัวอย่างมีกรวดผสมอยู่มากกว่า 20 เปอร์เซ็นต์ จะใช้แบบบดอัดขนาดเส้นผ่านศูนย์กลาง 152.4 มิลลิเมตรในการทดสอบ

ตารางที่ 2.1 รายละเอียดวิธีการทดสอบบดอัดแบบมาตรฐานพล็อกเตอร์

Samples	Method	Mold diameter [mm]	Ramer [weight]		No. of layer [No.]	No. of blow [No.]
			Weight [kg]	Drop height [mm]		
Soil with gravel 4.75-9.5 mm. dia. < 20%	A	101.6	2.5	304.8	3	25
Soil with gravel 4.75-9.5 mm. dia. > 20% and 9.5-19 mm. dia. ≤ 20%	B or C	101.6 or 152.4	2.5	304.8	3	25 or 56
	C	152.4	2.5	304.8	3	56

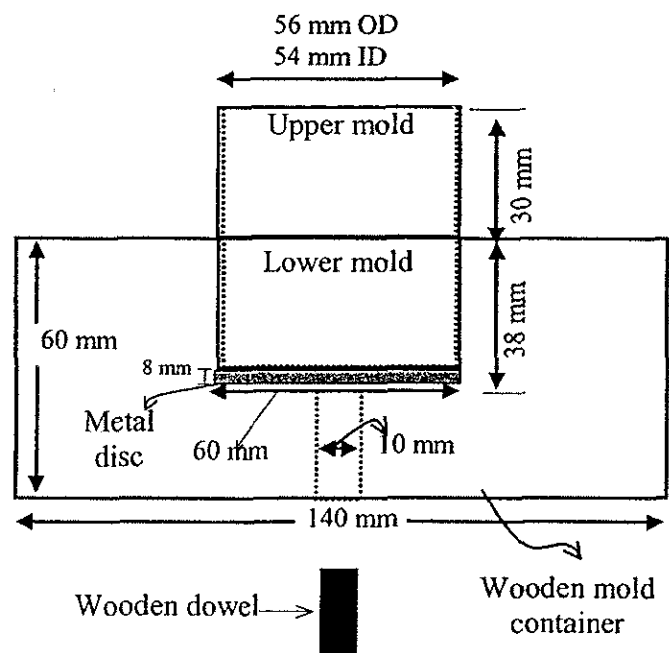
จากข้อกำหนดตามมาตรฐานการทดสอบบดอัดซึ่งให้เห็นว่ากรวดมีผลต่อการทดสอบบดอัดดิน Donaghe and Torrey (1994) พบว่า อัตราส่วนระหว่างขนาดเส้นผ่านศูนย์กลางของแบบบดอัดดินและขนาดขนาดเส้นผ่านศูนย์กลางของเม็ดดินที่เหมาะสมจะต้องมีค่าไม่น้อยกว่า 5 ถึง 6 เท่า ขณะที่ Garga and Madureira (1985) ได้ทำการทดสอบบดอัดดินกรวดแม่น้ำพบว่า ค่าความหนาแน่นแห้งสูงสุดจะมีค่ามากที่สุดเมื่ออัตราส่วนระหว่างขนาดเส้นผ่านศูนย์กลางของแบบบดอัดและขนาดเส้นผ่านศูนย์กลางของเม็ดดินเพิ่มขึ้นถึง 8 เท่า แสดงดังรูปที่ 2.1 นอกจากนี้ Garga and

Madureira (1985) ยังพบว่ากรวดจะเริ่มนีอิทธิพลต่อการทดสอบอัดดิน เมื่อดินตัวอย่างมีกรวดผสมในปริมาณ 20 ถึง 25 เปอร์เซ็นต์ขึ้นไป ซึ่งผลการศึกษาดังกล่าวได้สอดคล้องกับ Holtz and Lowitz (1957) และ Jones (1954) ขณะที่ผลการศึกษาของ Donaghe and Townsend (1976) พบว่า กรวดจะเริ่มขัดกันเมื่อดินมีปริมาณกรวดเพิ่มขึ้นถึง 40 เปอร์เซ็นต์ และ Winter et al. (1998) พบว่า ถ้าดินตัวอย่างมีกรวดขนาดใหญ่กว่า 20 มิลลิเมตร ปอนด์ในปริมาณมากกว่า 45 ถึง 50 เปอร์เซ็นต์ กรวดจะเป็นตัวควบคุมพุ่มพุ่มกรรมการบรคดอัดของดิน ถึงแม่งานวิจัยหลายชิ้น ได้แสดงให้เห็นว่ากรวดมีอิทธิพลต่อผลทดสอบการบรคดอัดดินปั่นกรวดและส่งผลให้พลังงานบรคดอัดที่ถ่ายทอดสู่ส่วนละเอียด มีค่าลดลง แต่ก็ไม่มีงานวิจัยชิ้นใดที่ทำการศึกษาการถ่ายทอดพลังงานการบรคดอัดไปสู่ส่วนละเอียดในการทดสอบการบรคดอัดดินปั่นกรวดอย่างจริงจัง

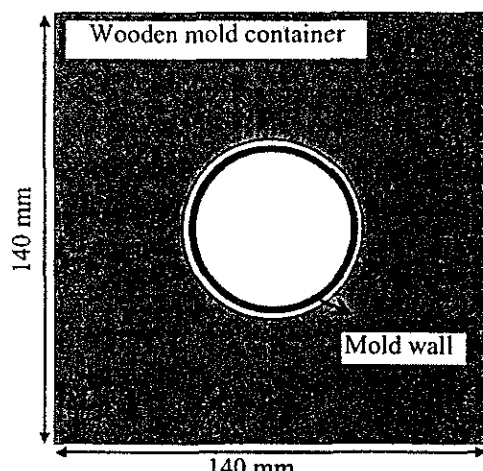


รูปที่ 2.1 ผลทดสอบการบรคดอัดดินของ Garga and Madureira (1985)

ในช่วงทศวรรษที่ผ่านมา มีการเสนอชุดทดสอบการบรคดอัดดินที่มีขนาดเล็กที่น่าสนใจ เช่น Diaz-Zorita et al. ในปี ค.ศ. 2001 หรือ Shidharan and Sivapullaiah ในปี ค.ศ. 2005 เป็นต้น อย่างไรก็ตามรูปแบบของชุดทดสอบการบรคดอัดขนาดเล็กที่ถูกพัฒนาขึ้นจากทั้ง Diaz-Zorita et al. (2001) และ Shidharan and Sivapullaiah (2005) มีความแตกต่างจากรูปแบบชุดทดสอบแบบมาตรฐานหรือสูงกว่ามาตรฐานเพื่อทดสอบค่าคงที่ของค่าคงที่ในรูปที่ 2.2 และ 2.3 ตามลำดับ

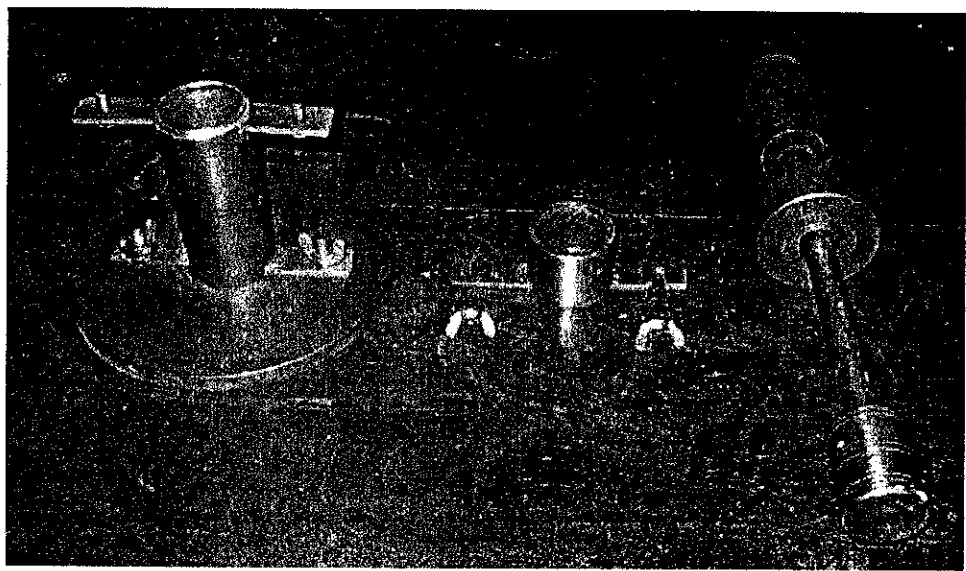


SIDE VIEW

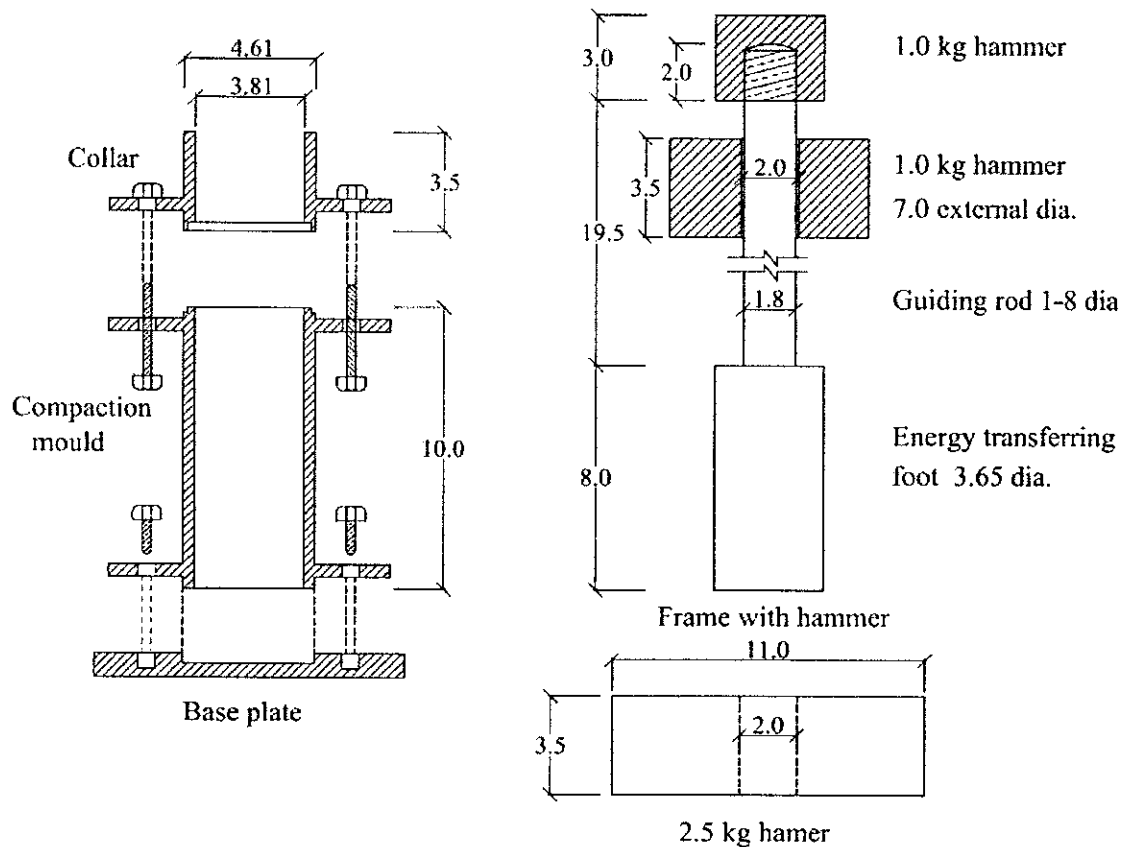


TOP VIEW

รูปที่ 2.2 ชุดทดลองการบดอัคขนาดเล็กของ Diaz-Zorita et al. (2001)



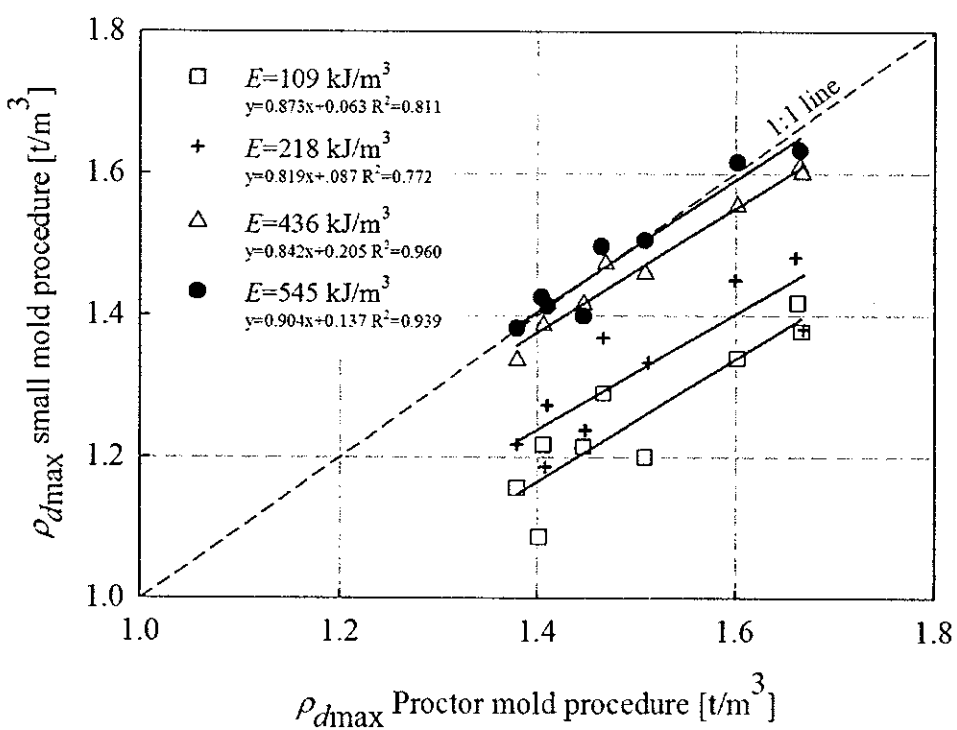
(ก) ภาพถ่ายชุดทดสอบการบดอัดขนาดเล็ก



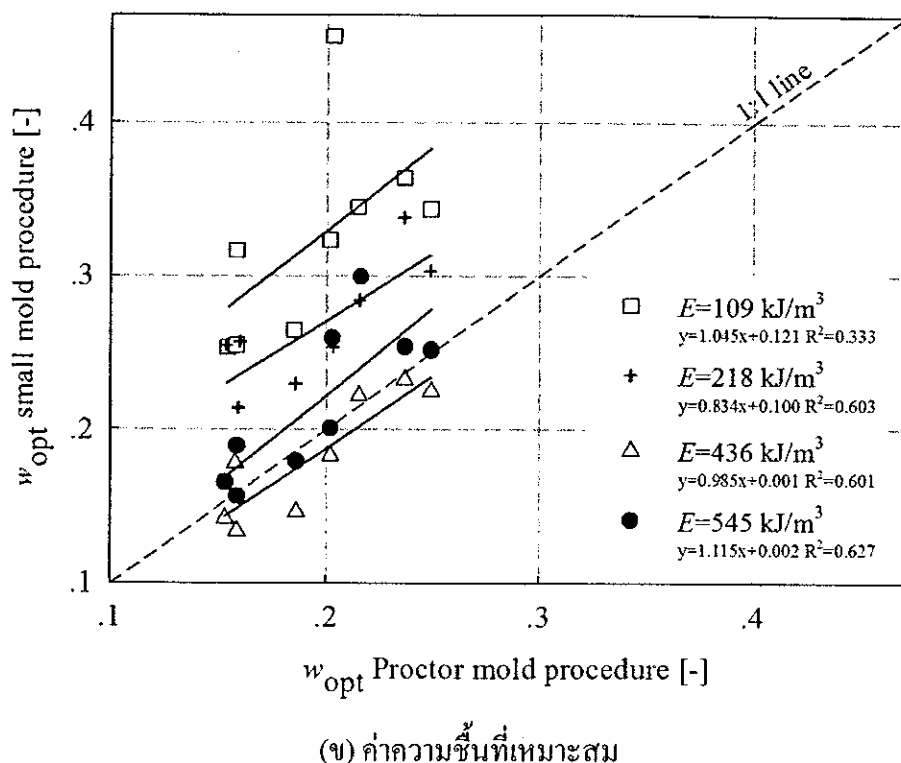
(ข) รายละเอียดชุดทดสอบการบดอัดขนาดเล็ก

รูปที่ 2.3 ชุดทดสอบการบดอัดขนาดเล็กของ Shidharan and Sivapullaiah (2005)

ชุดทดสอบการบดอัดคินทั้งสองยังมีการใช้ขนาดหน้าตัดค้อนเท่ากับขนาดหน้าตัดแบบบดอัด ซึ่งแตกต่างกับชุดทดสอบการบดอัดคินแบบมาตรฐานพลีอคเตอร์ซึ่งจะมีขนาดหน้าตัดค้อนเพียงครึ่งหนึ่งของขนาดหน้าตัดแบบบดอัดเท่านั้น นอกจากนี้ขึ้นตอนในการพัฒนาชุดทดสอบการบดอัดคินเอง ก่อนข้างยุ่งยากเนื่องจากเป็นการลองผิดลองถูกที่สัดส่วนของชุดทดสอบหรือรวมทั้งลองผิดลองถูกที่กระบวนการทดสอบการบดอัดคินเพื่อให้ผลทดสอบการบดอัดคินตรงกับผลทดสอบการบดอัดคินแบบมาตรฐานพลีอคเตอร์ อีกทั้งยังมีข้อจำกัดในการใช้งาน เช่น ชุดทดสอบการบดอัดที่เสนอโดย Diaz-Zorita et al. (2001) จะใช้ได้กับการบดอัดคินที่ระดับพลังงานเท่ากับระดับพลังงานตามมาตรฐานพลีอคเตอร์ (592.5 kJ/m^3) เท่านั้น หากทำการบดอัดคินที่ระดับพลังงานต่างจากนี้จะให้ผลทดสอบไม่ตรงกับผลทดสอบการบดอัดคินด้วยชุดทดสอบการบดอัดคินแบบพลีอคเตอร์ ดังแสดงในรูปที่ 2.4 ทั้งนี้ปัญหาจากความยุ่งยากในการพัฒนาชุดทดสอบจากการลองผิดลองถูกและข้อจำกัดในการใช้งาน ทำให้ชุดทดสอบการบดอัดขนาดเล็กที่กล่าวถึงมิได้ถูกนำมาใช้งานอย่างแพร่หลายเท่าที่ควร แต่หากมีการศึกษาอิทธิพลเนื่องจากคุณลักษณะของชุดทดสอบต่อผลทดสอบการบดอัดคิน จะทำให้สามารถพัฒนาแบบบดอัดได้อย่างมีประสิทธิภาพ และหากสามารถคงคุณลักษณะของชุดทดสอบให้ได้ใกล้เคียงกับคุณลักษณะของชุดทดสอบแบบมาตรฐาน ก็จะทำให้สามารถพัฒนาชุดทดสอบการบดอัดขนาดเล็กที่มีลักษณะใกล้เคียงกับชุดทดสอบการบดแบบพลีอคเตอร์ อันจะทำให้ชุดทดสอบที่พัฒนาขึ้นถูกนำไปใช้ได้ง่ายและแพร่หลายในที่สุด



(ก) ค่าความหนาแน่นแห้ง



(ก) ค่าความชื้นที่เหมาะสม

รูปที่ 2.4 ผลการทดสอบคัดของ Diaz-Zorita et al. (2001)

บทที่ 3

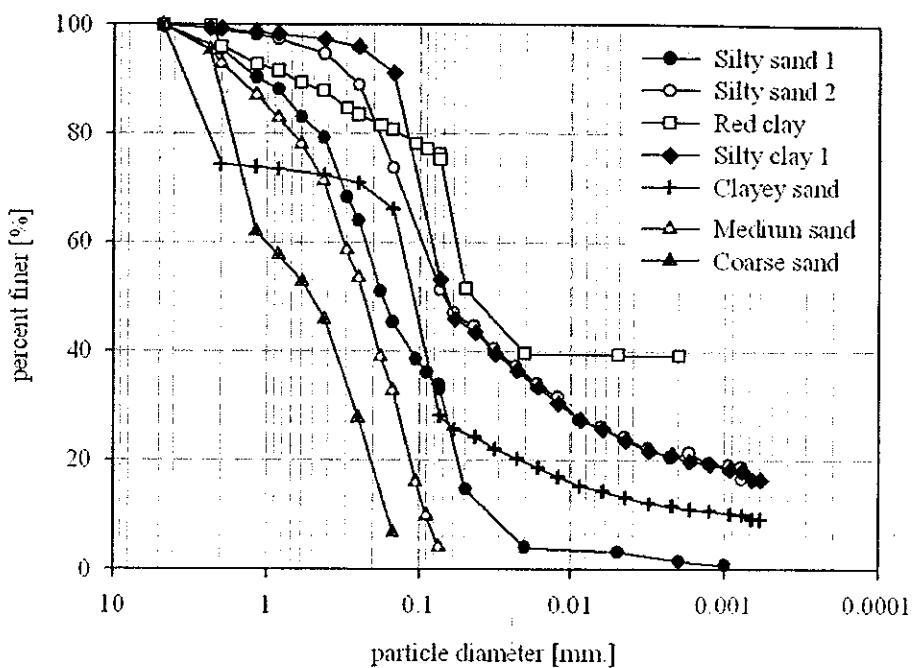
การพัฒนาชุดทดสอบการทดสอบดินขนาดเล็ก

3.1 การศึกษาอิทธิพลการลดขนาดของแบบบดอัดดิน

ในการพัฒนาชุดทดสอบการทดสอบดินให้มีขนาดเล็กลง จำต้องมีการการลดขนาดของแบบบดอัดดินลง ทำให้คุณลักษณะของชุดทดสอบมีการเปลี่ยนแปลงไป เพื่อให้สามารถพัฒนาชุดทดสอบการทดสอบดินขนาดเล็กเป็นไปอย่างมีประสิทธิภาพ จึงได้ทำการศึกษาผลกระบวนการเปลี่ยนแปลงคุณลักษณะของชุดทดสอบการทดสอบดิน โดยใช้คินส่องชนิดที่มีความแตกต่างกันอย่างมากคือ (1) Silty sand 1 และ (2) Red clay ซึ่งดินทั้งสองมีการกระจายขนาดของเม็ดดินแสดง ดังรูปที่ 3.1 และมีคุณสมบัติทางกายภาพและดัชนีแสดงดังตารางที่ 3.1 แล้วทำการทดสอบการทดสอบดินในแบบบดอัดดินที่มีความสูงเท่ากับ 116.4 มิลลิเมตร โดยความคุณพลังงานต่อปริมาตรให้เท่ากับ 592.5 kJ/m^3 เพื่อศึกษาผลกระบวนการนี้ของจากการเปลี่ยนแปลงคุณลักษณะของชุดทดสอบการทดสอบดินได้แก่ (1) การเปลี่ยนแปลงอัตราส่วนระหว่างเส้นผ่านศูนย์กลางค้อนต่อเส้นผ่านศูนย์กลางแบบบดอัดดิน (Diameter ratio: DR) เพื่อศึกษาอิทธิพลเนื่องจากการเปลี่ยนแปลงขนาดหน้าตัดของค้อน และขนาดหน้าตัดของแบบบดอัดต่อผลทดสอบการทดสอบดิน (2) จำนวนชั้นเพื่อศึกษาอิทธิพลเนื่องจากการเปลี่ยนแปลงจำนวนของชั้นดินที่บดอัดในแบบบดอัดต่อผลทดสอบการทดสอบดิน (3) น้ำหนักค้อนเพื่อศึกษาอิทธิพลเนื่องจากการเปลี่ยนแปลงน้ำหนักค้อนที่ใช้บดอัดต่อผลทดสอบการทดสอบดิน และ (4) ระยะหกของค้อนเพื่อศึกษาอิทธิพลเนื่องจากการเปลี่ยนแปลงระยะหกของค้อนต่อผลทดสอบการทดสอบดิน รายการการทดสอบเพื่อศึกษาอิทธิพลเนื่องจากคุณลักษณะของชุดทดสอบการทดสอบดินต่อผลทดสอบการทดสอบดิน สรุปอยู่ในตารางที่ 3.2

ตารางที่ 3.1 คุณสมบัติพื้นฐานของคินตัวอย่างที่ใช้ในการทดสอบ

Soil type	LL [%]	PL [%]	PI [%]	G_s	Group symbol
Silty sand 1	NP	NP	NP	2.67	SM
Silty sand 2	NP	NP	NP	2.69	SM
Red clay	75	24.6	50.4	2.70	CH
Silty clay 1	28.7	19.4	9.3	2.72	CL
Clayey sand	28.7	19.4	9.3	2.72	SC
Medium sand	NP	NP	NP	2.72	SP
Coarse sand	NP	NP	NP	2.72	SP



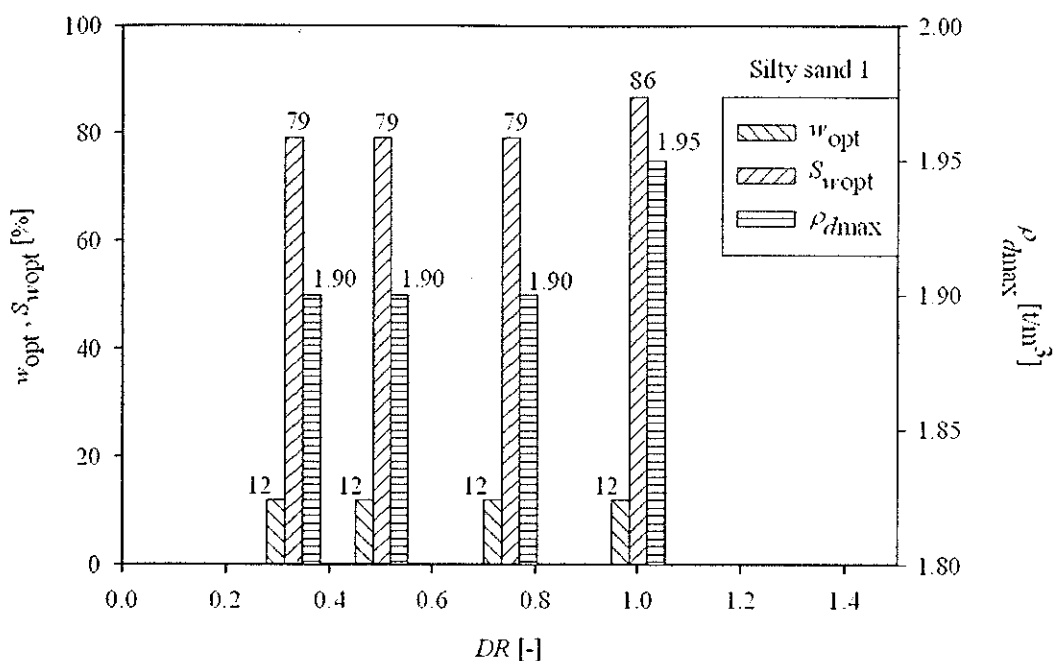
รูปที่ 3.1 การกระจายขนาดของดินที่ทำการศึกษา

ตารางที่ 3.2 รายละเอียดการศึกษาผลกราฟบนเนื่องจากเปลี่ยนแปลงคุณลักษณะ

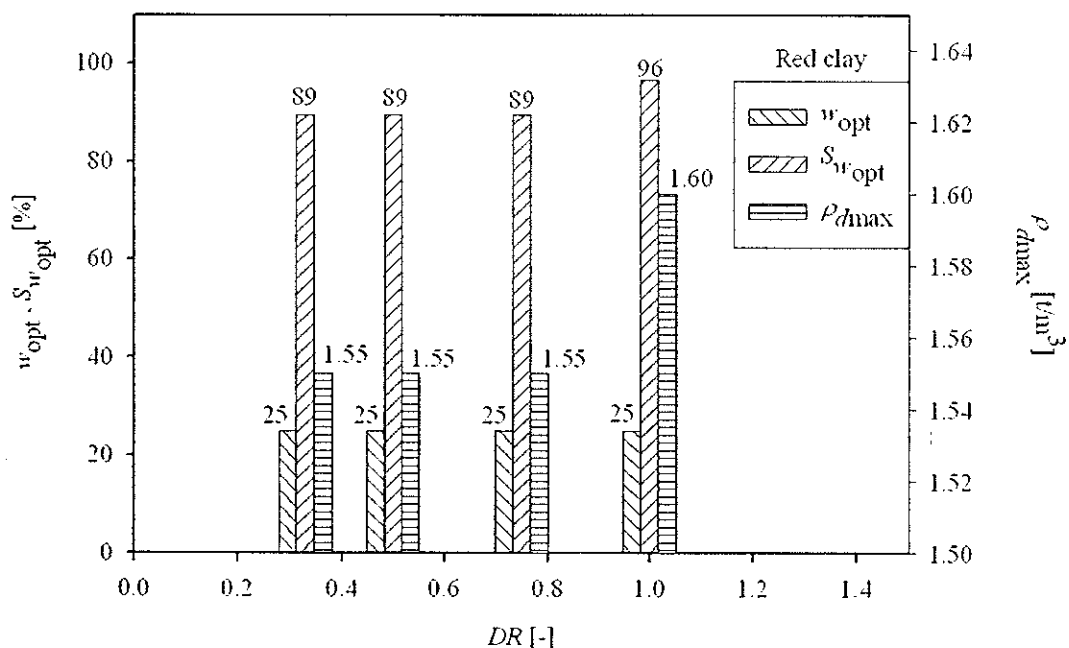
ของชุดทดสอบต่อผลทดสอบการบดขัดดิน

Tests no.	Mold diameter [mm]	Rammer diameter [mm]	Diameter ratio [-]	No. of layers [No.]	Rammer		No. of blow [No.]
					Weight [kg]	Drop height [mm]	
1.1	152.4	50.8	0.33	3	2.5	304.8	56
1.2	101.6	50.8	0.5	3	2.5	304.8	25
1.3	101.6	76.2	0.75	3	2.5	304.8	25
1.4	76.2	76.2	1	3	2.5	304.8	15
2.1	101.6	50.8	0.5	2	2.5	304.8	37
2.2	101.6	50.8	0.5	3	2.5	304.8	25
2.3	101.6	50.8	0.5	4	2.5	304.8	19
2.4	101.6	50.8	0.5	5	2.5	304.8	15
3.1	101.6	50.8	0.5	3	4.5	304.8	14
3.2	101.6	50.8	0.5	3	3.2	304.8	16
3.3	101.6	50.8	0.5	3	2.5	304.8	25
3.4	101.6	50.8	0.5	3	1	304.8	62
4.1	101.6	50.8	0.5	3	2.5	457.2	17
4.2	101.6	50.8	0.5	3	2.5	381	20
4.3	101.6	50.8	0.5	3	2.5	304.8	25
4.4	101.6	50.8	0.5	3	2.5	228.6	33

จากผลการทดสอบพบว่าการเปลี่ยนแปลงคุณลักษณะของชุดทดสอบทุกตัวไม่ส่งผลกระทบต่อผลทดสอบการบดอัด ยกเว้นการทดสอบคัดคินที่ DR เท่ากับ 1 รูปที่ 3.2 แสดงผลทดสอบบดอัดคินที่ DR ต่าง ๆ ตามวิธีทดสอบที่ (1.1), (1.2), (1.3) และ (1.4) ในตารางที่ 3.2 โดยรูปที่ 3.2(a) เป็นผลทดสอบการบดอัดคิน Silty sand 1 ส่วนรูปที่ 3.2(b) เป็นผลทดสอบการบดอัดคิน Red clay เมื่อเทียบผลทดสอบการบดอัดคินที่ DR ต่าง ๆ กับผลทดสอบการบดอัดคินที่ DR เท่ากับ 0.50 ซึ่งเป็นการบดอัดตามมาตรฐานพลีอกเตอร์ พบว่าการบดอัดโดยใช้ DR ทุกค่า ได้ค่าความชื้นที่เหมาะสม (Optimum water content: w_{opt}) ใกล้เคียงกันทั้งหมด แต่สำหรับความหนาแน่นแห้งสูงสุด (Maximum dry density: $\rho_{d_{max}}$) การบดอัดโดยใช้ DR ต่าง ๆ จะให้ผลทดสอบใกล้เคียงกัน ยกเว้นการบดอัดที่ DR เท่ากับ 1 ซึ่งจะให้ค่าความหนาแน่นแห้งสูงสุดสูงกว่าการทดสอบบดอัดคินที่ DR อื่น ทั้งนี้เนื่องมาจาก การบดอัดคินที่ DR เท่ากับ 1 จะมีประสิทธิภาพการบดอัดที่ดีกว่าการบดอัดคินที่ DR อื่น ๆ ซึ่งเห็นได้จากค่าระดับความอิ่มตัวด้วยน้ำที่ความชื้นเหมาะสม (Optimum degree of saturation: $S_{w_{opt}}$) สำหรับการบดอัดคินที่ DR เท่ากับ 1 จะมี $S_{w_{opt}}$ สูงกว่าการบดอัดคินที่ DR ค่าอื่น ๆ ซึ่งในทางทฤษฎีการทดสอบการบดอัดคินโดยใช้ชุดทดสอบที่มี DR เท่ากับ 1 การบดอัดจะเกิดการสูญเสียพลังงานน้อยกว่าการทดสอบการบดอัดด้วย DR อื่น ๆ เพราะขณะทำการบดอัดคิน ตัวอย่างคินจะไม่ปูดบวนขึ้นมารอบ ๆ ค้อนบดอัด เนื่องจากไม่มีช่องว่างระหว่างหน้าตัดแบบบดอัดและหน้าตัดค้อน พลังงานบดอัดจากค้อนบดอัดจึงถูกใช้ไปในการบดอัดคินอย่างมีประสิทธิภาพมากกว่า ดังนั้นในการพัฒนาชุดทดสอบการบดอัดคินขนาดเล็กโดยใช้ DR เท่ากับ 1 เพื่อให้ได้ผลทดสอบการบดอัดใกล้เคียงกับผลทดสอบการบดอัดแบบมาตรฐานพลีอกเตอร์ จะต้องทำการปรับเปลี่ยนชุดทดสอบการบดอัดให้มีประสิทธิภาพการบดอัดใกล้เคียงกับประสิทธิภาพการบดอัดของชุดทดสอบการบดอัดแบบมาตรฐานพลีอกเตอร์ เช่น Diaz-Zorita et al. (2001) ใช้แผ่นไม้เป็นแผ่นฐานรองรับแบบบดอัด เพื่อให้ผลทดสอบการบดอัดคินจากชุดทดสอบการบดอัดที่เสนอ มีค่าใกล้เคียงกับผลทดสอบการบดอัดจากชุดทดสอบการบดอัดแบบมาตรฐานพลีอกเตอร์ หรือ Shidharan and Sivapullaiah (2005) ที่ใช้ชุดทดสอบการบดอัดที่ DR เท่ากับ 1 และใช้ฐานเหล็กสั่งถ่ายพลังงานบดอัดจากค้อนที่ตอกกระแทกไปสู่ดิน โดยทำการปรับเปลี่ยนจำนวนครั้งการบดอัดของค้อน เพื่อให้ได้ผลทดสอบการบดอัดใกล้เคียงกับผลทดสอบการบดอัดแบบมาตรฐานพลีอกเตอร์ จากงานวิจัยทั่งสองจะเห็นว่าชุดทดสอบการบดอัดขนาดเล็กที่เสนอ มีความซับซ้อนทั้งรูปร่างของชุดทดสอบ และขั้นตอนการทดสอบการบดอัด และเสียเวลาในการพัฒนาชุดทดสอบ เนื่องจาก เป็นการพัฒนาชุดทดสอบในลักษณะลองผิดลองถูก และไม่เป็นที่นิยมใช้อย่างแพร่หลายในห้องปฏิบัติการทั่วไป เนื่องจากความยุ่งยากในการพัฒนาเครื่องมือ



(ก) ผลทดสอบการบดอั้กดิน Silty sand 1

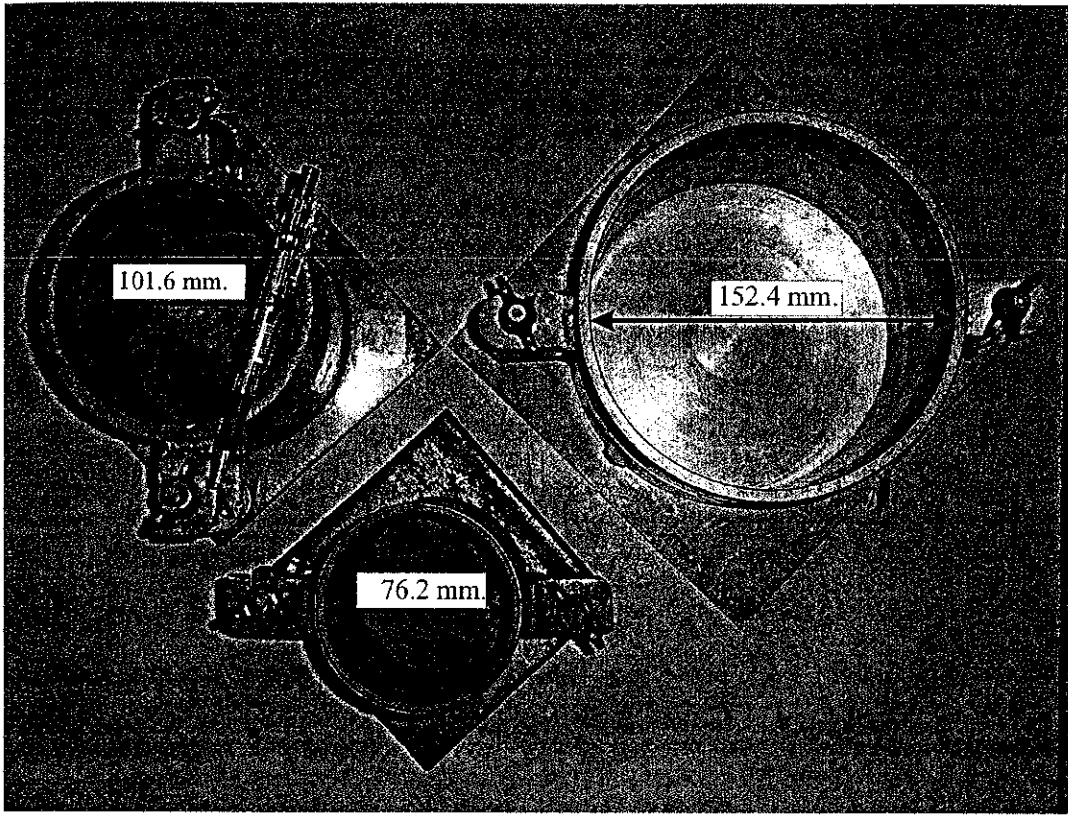


(ข) ผลทดสอบการบดอั้กดิน Red clay

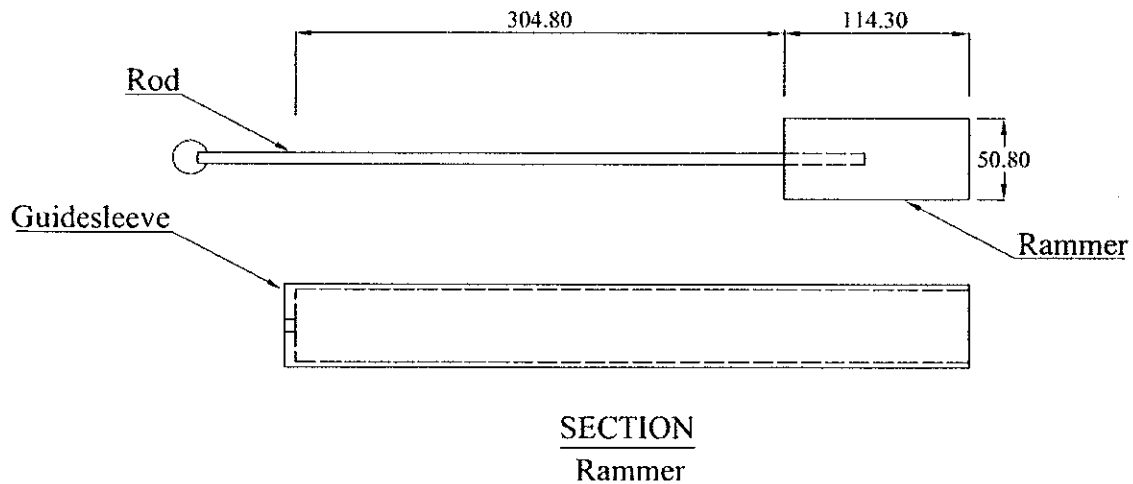
รูปที่ 3.2 ผลกระทบของอัตราส่วนหน้าตัดต่อผลทดสอบการบดอั้กดิน

3.2 ชุดทดสอบการบดอัดขนาดเล็ก

เพื่อให้ง่ายต่อการนำชุดทดสอบการบดอัดขนาดเล็กไปใช้งานได้จริงและเพร่หลาย ชุดทดสอบที่เสนอจึงใช้เหล็กในการผลิตชุดทดสอบ โดยพิพารณาคงคุณลักษณะของชุดทดสอบให้ใกล้เคียงกับคุณลักษณะของชุดทดสอบการบดอัดแบบมาตรฐานพล็อกเตอร์ให้มากที่สุด และจะเป็นการง่ายหากสามารถใช้อุปกรณ์ที่มีอยู่เดิมจากชุดทดสอบแบบมาตรฐานพล็อกเตอร์ ดังนั้นค่อนข้างบดอัดของชุดทดสอบการบดอัดแบบมาตรฐานพล็อกเตอร์ จึงถูกนำมาใช้ในชุดทดสอบการบดอัดที่เสนอ และเพื่อให้ DR ของชุดทดสอบการบดอัดที่เสนอ มีค่ากว่า 1 จึงเลือกใช้แบบบดอัดขนาดเส้นผ่านศูนย์กลาง 76.2 มิลลิเมตร (3 นิ้ว) ซึ่งทำให้ DR ของชุดทดสอบการบดอัดดินที่เสนอ มีค่า DR เท่ากับ 0.67 โดยชุดทดสอบการบดอัดดินที่เสนอ มีรายละเอียดดังนี้ แบบบดอัดมีขนาดเส้นผ่านศูนย์กลางภายในเท่ากับ 76.2 มิลลิเมตร (3 นิ้ว) สูง 116.4 มิลลิเมตร (4.54 นิ้ว) และยังคงใช้ค้อนบดอัดซึ่งใช้ในชุดทดสอบการบดอัดแบบมาตรฐานพล็อกเตอร์ นั้นคือเป็นค้อนบดอัดรูปทรงกระบอกขนาดเส้นผ่านศูนย์กลาง 50.80 มิลลิเมตร (2 นิ้ว) และมีน้ำหนัก 2.5 กิโลกรัม โดยมีระยะหกอิสระของค้อนเท่ากับ 304.8 มิลลิเมตร (1.00 ฟุต) รูปที่ 3.3ก แสดงภาพถ่ายแบบบดอัดขนาดเล็กเทียบกับชุดแบบมาตรฐานพล็อกเตอร์ 3.3ข แสดงรายละเอียดค้อนที่ใช้ในการทดสอบ 3.3ก แสดงรายละเอียดชุดทดสอบการบดอัดขนาดเล็กเทียบกับชุดทดสอบการบดอัดแบบมาตรฐานพล็อกเตอร์ขนาดของแบบบดอัดแบบมาตรฐานพล็อกเตอร์จะมีขนาดเส้นผ่านศูนย์กลางภายใน 101.6 มิลลิเมตร (4 นิ้ว) ส่วนความสูงของแบบบดอัดขนาดเล็กและแบบบดอัดมาตรฐานจะมีขนาดเท่ากันคือ 116.4 มิลลิเมตร จะเห็นว่าชุดทดสอบการบดอัดขนาดเล็กที่เสนอ นี้ ยังคงคุณลักษณะของอุปกรณ์ทดสอบเหมือนกับชุดทดสอบการบดอัดแบบมาตรฐานพล็อกเตอร์ โดยมีการเปลี่ยนแปลงเพียงขนาดเส้นผ่านศูนย์กลางภายในของแบบบดอัดเท่านั้น ซึ่งเป็นผลให้ปริมาตรของดินที่บดอัดลงในแบบบดลงถึง 1.8 เท่าเมื่อเทียบกับแบบมาตรฐานขนาดเส้นผ่านศูนย์กลางภายใน 101.6 มิลลิเมตร และลดลงถึง 4 เท่าเมื่อเทียบกับแบบมาตรฐานขนาดเส้นผ่านศูนย์กลางภายใน 116.4 มิลลิเมตร และการที่ชุดทดสอบการบดอัดขนาดเล็กใช้พลังงานต่อปริมาตรเท่าเดิม การที่มีปริมาตรลดลง จึงเป็นการลดพลังงานบดอัดลงตามจำนวนเท่าของปริมาตรดินบดอัด

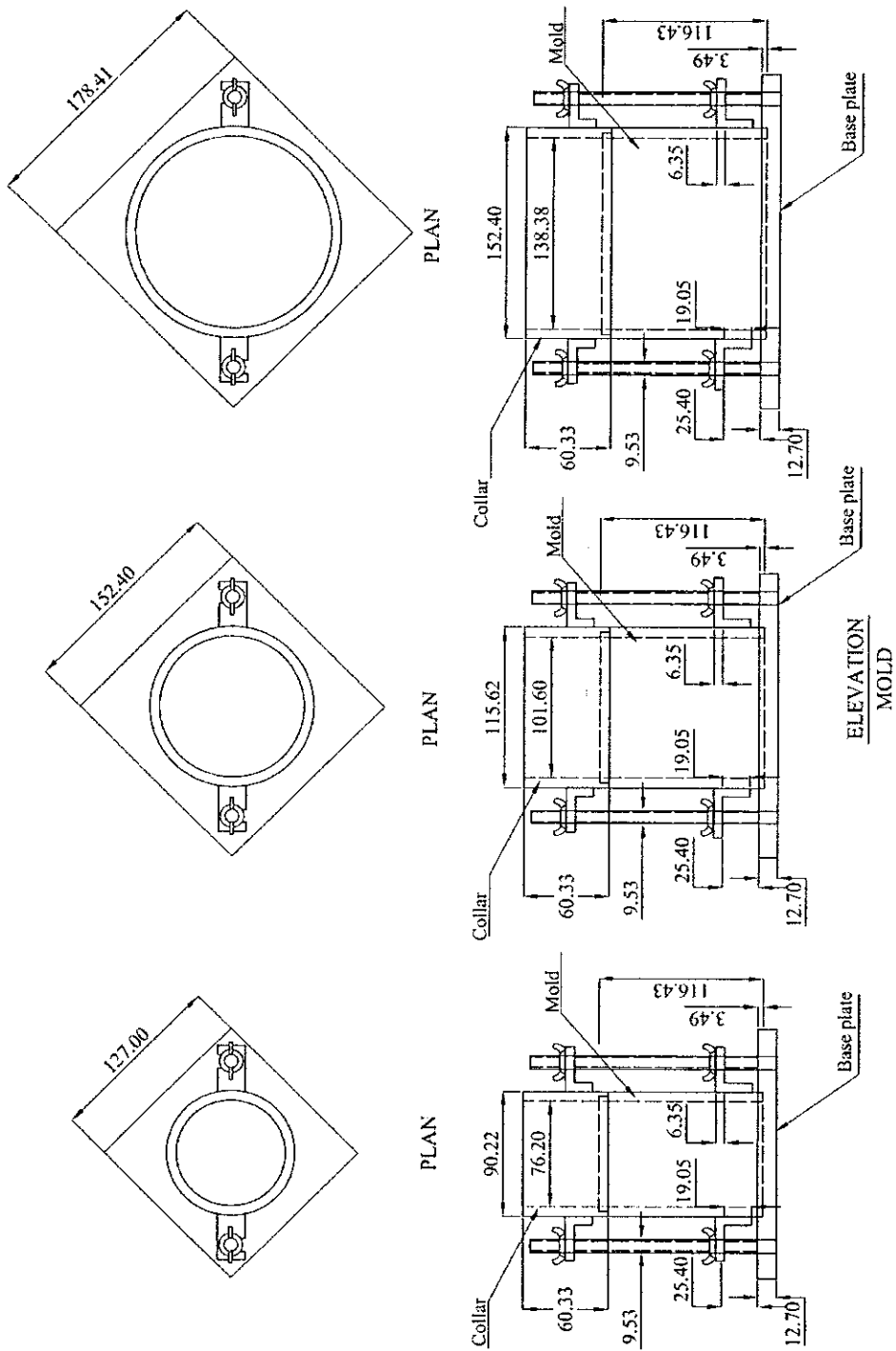


(ก) ภาพถ่ายแบบบดอัคขนาดเล็กเทียบกับแบบบดอัคมาตรฐานพลีอกเตอร์



(ข) รายละเอียดก้อนบดอัคที่ใช้ในการทดสอบ

รูปที่ 3.3 ชุดทดสอบการบดอัคขนาดเล็กและชุดทดสอบมาตรฐานพลีอกเตอร์



(ก) รายละเอียดชุดหัวตอกตามการรับจัดซื้อมาได้แก่แบบดูดตอกตามมาตรฐานพัสดุภาครัฐ

รูปที่ 3.3 ชุดหัวตอกตามการรับจัดซื้อนำมาติดตั้งและซุกหัวตอกตามมาตรฐานพัสดุภาครัฐ (ต่อ)

ขั้นตอนการทดสอบการบดอัดดินจะเหมือนกับการทดสอบการบดอัดดินแบบมาตรฐาน พลีอกเตอร์ ดินที่จะใช้เป็นดินที่มีขนาดเม็ดดินใหญ่สุดเส้นผ่านศูนย์กลาง ไม่เกิน 4.75 มิลลิเมตร จำนวน 2.5 กิโลกรัม จะถูกนำมาทดสอบน้ำให้มีความชื้นตามที่ต้องการแล้วคลุมพลาสติกไว้ระยะเวลาหนึ่งจึงกับประเทบทองดินเพื่อให้ความชื้นในตัวอย่างดินมีความสม่ำเสมอ หลังจากนั้นจะแยกดินออกมาเป็นสามกองเพื่อบดอัดลงในแบบขนาดเล็กเป็นจำนวนสามชิ้น ในแต่ละชิ้นจะทำการบดอัดด้วยค้อนบดอัด 14 ครั้ง ตารางที่ 3.3 รายละเอียดการทดสอบการบดอัดดินด้วยชุดทดสอบการบดอัดขนาดเล็ก เทียบกับการทดสอบดินด้วยชุดทดสอบการบดอัดแบบมาตรฐานพลีอกเตอร์ พลังงานต่อปริมาตรของชุดทดสอบการบดอัดดินขนาดเล็กจะมีค่าน้อยกว่าพลังงานต่อปริมาตรของชุดทดสอบมาตรฐานเพียงเล็กน้อย

ตารางที่ 3.3 รายละเอียดการทดสอบการบดอัดดินด้วยชุดทดสอบมาตรฐานพลีอกเตอร์

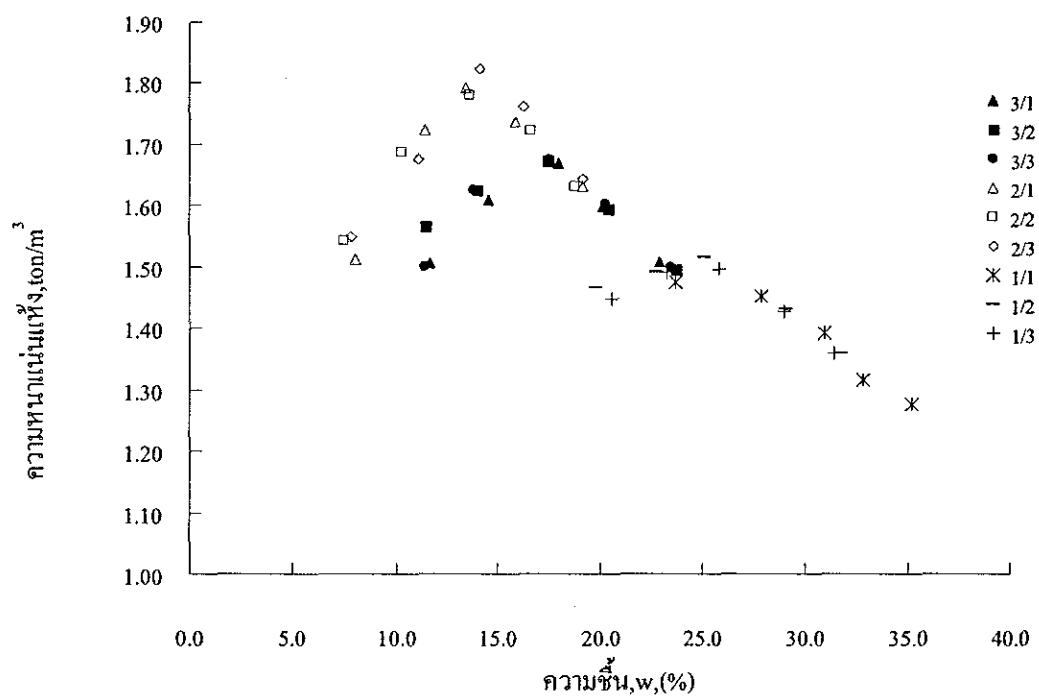
และชุดทดสอบการบดอัดดินขนาดเล็ก

Mould Dia. [mm.]	DR. [-]	Drop [Blow]	Lay. [-]	Rammer		Compaction Effort [kJ/m ³]
				Weight [kg]	Drop [mm]	
76.2	0.67	14	3	2.5	300	581.4
101.6	0.5	25	3	2.5	300	592.6

เพื่อยืนยันการนำไปใช้ได้จริงของแบบบดอัดที่เสนอ จึงได้ทำการทดสอบการบดอัดตัวอย่างดินซึ่งมีขนาดเม็ดดินใหญ่ไม่เกิน 4.75 มิลลิเมตร จำนวนสามชนิดตัวอย่าง โดยความเป็นพลาสติกของดินทั้งสามชนิดแสดงในตารางที่ 3.4 การทดสอบการบดอัดดินทั้งสามชนิด ทำโดยแบ่งการทดสอบในแต่ละชนิดตัวอย่างดินออกเป็น 3 ชุดทดสอบ ชุดทดสอบที่ 1 จะบดอัดดินในแบบมาตรฐานขนาดเส้นผ่านศูนย์กลาง 101.6 มิลลิเมตร ชุดทดสอบที่ 2 และ 3 จะบดอัดดินในแบบมาตรฐานขนาดเส้นผ่านศูนย์กลาง 76.2 มิลลิเมตร ชุดทดสอบที่ 2 และ 3 จะบดอัดดินในแบบมาตรฐานขนาดเส้นผ่านศูนย์กลาง 50.8 มิลลิเมตร ผลการทดสอบบดอัดดินในแบบขนาดเล็กที่เสนอ ซึ่งมีค่าคงที่ 3.4 แสดงให้เห็นได้เป็นอย่างดีว่าแบบบดอัดที่ขนาดเล็กที่เสนอให้ผลทดสอบการบดอัดดินไม่ต่างจากผลทดสอบการบดอัดดินที่ได้จากแบบบดอัดมาตรฐาน

ตารางที่ 3.4 คุณสมบัติพื้นฐานของดินตัวอย่างที่ใช้ในการตรวจสอบแบบขนาดเล็กที่เสนอ

Soil type	LL [%]	PL [%]	PI [%]
Soil 1	56	27	29
Soil 2	34	16	18
Soil 3	34	14	20



รูปที่ 3.4 ผลทดสอบการบดอัดดินสามตัวอย่างเพื่อตรวจสอบแบบขนาดเล็กที่เสนอ

บทที่ 4

อิทธิพลของกรวดต่อผลทดสอบการบดอัดดิน

4.1 ตัวอย่างดินและวิธีการศึกษา

ตัวอย่างดินจากแหล่งดินตามธรรมชาติ บริเวณรอบ ๆ มหาวิทยาลัยเทคโนโลยีสุรนารี ทั้งหมด 5 ตัวอย่างดิน ถูกนำมาใช้ในการศึกษาอิทธิพลของกรวดที่มีต่อผลการทดสอบบดอัด ดินทั้ง 5 ประกอบด้วย (1) Silty sand 1 (2) Red clay (3) Silty sand 3 (4) Silty clay 2 และ (5) Silty clay 3 ตารางที่ 4.1 แสดงคุณสมบัติทางกายภาพของดินที่นำมาศึกษา ส่วนการกระจายขนาดของเม็ดดินที่นำมาศึกษาแสดงดังรูปที่ 4.1 จากตารางที่ 4.1 และรูปที่ 4.1 จะพบว่าดินที่นำมาศึกษามีความแตกต่างกันอย่างชัดเจน ซึ่งเพียงพอที่จะนำมาศึกษาอิทธิพลของกรวดต่อการบดอัดที่เป็นตัวแทนของดินทุกประเภท

สำหรับกรวดที่นำมาศึกษาเป็นกรวดที่คัดออกมาจากดินลูกรัง โดยคัดกรวดที่ค้างตะแกรงเบอร์ 4 แล้วนำไปทำการล้างน้ำ จากนั้นนำกรวดที่ผ่านการทำการล้างน้ำแล้วนำไปร่อนผ่านตะแกรงเบอร์ 3/4 ตะแกรงเบอร์ 3/8 และตะแกรงเบอร์ 4 เพื่อคัดกรวดที่เตรียมไว้ออกเป็นสองขนาดเพื่อศึกษาอิทธิพลเนื่องจากขนาดและปริมาณของกรวดต่อผลทดสอบการบดอัด กรวดทั้งสองขนาดคือ

(ก) กรวดที่ค้างตะแกรงเบอร์ 4 ซึ่งมีขนาดเส้นผ่าศูนย์กลางระหว่าง 4.75 มิลลิเมตรถึง 9.5 มิลลิเมตร ซึ่งต่อไปจะเรียกว่ากรุดขนาดเล็ก และ

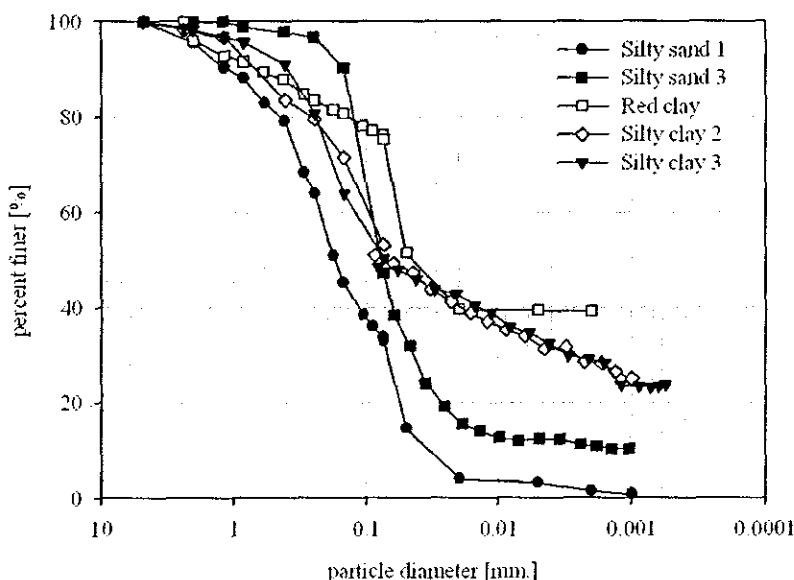
(ข) กรวดที่ค้างตะแกรงเบอร์ 3/8 ซึ่งมีขนาดเส้นผ่าศูนย์กลางระหว่าง 9.5 มิลลิเมตรถึง 19 มิลลิเมตร ซึ่งต่อไปจะเรียกว่ากรุดขนาดใหญ่

ส่วนกรวดที่ค้างบนตะแกรงเบอร์ 3/4 จะไม่นำมาศึกษาและถูกคัดทิ้งไป ทั้งนี้เนื่องจากตามมาตรฐานการทดสอบการบดอัดแบบพล็อกเตอร์ หากดินที่นำมาทดสอบการบดอัดมีกรวดที่ค้างตะแกรงเบอร์ 3/4 กรวดเหล่านี้จะถูกคัดออกแล้วแทนที่กรวดที่คัดออกคือกรวดที่ค้างตะแกรงเบอร์ 3/8 ด้วยปริมาณเท่ากับปริมาณกรวดที่คัดออก เมื่อคัดกรุดออกเป็น 2 ขนาดแล้ว กรวดทั้งสองขนาดจะถูกนำไปเขย่าให้กระเด็นน้ำหนาที่ทดสอบจะถูกทำให้ผิวแห้งเพื่อให้กรุดอยู่ในสภาพอิ่มตัวผิวแห้งก่อนทดสอบ

กรวดทั้งสองขนาดจะถูกนำไปแยกผสมกับตัวอย่างดินทั้ง 5 ประเภทด้วยปริมาณ 0, 10, 20, 30 และ 40 เปอร์เซ็นต์ ก่อนจะนำไปทดสอบการบดอัดดินตามมาตรฐานพล็อกเตอร์ (ASTM D698-91) รูปที่ 4.2 แสดงแผนภาพตัวอย่างดินทั้งหมดที่ถูกนำไปทดสอบการบดอัดดินจากภูดินที่ทำการศึกษามี 5 ประเภท นำไปทดสอบกรวด 2 ขนาด คือกรุดขนาดเล็กและกรุดขนาดใหญ่ ด้วยปริมาณที่แตกต่างกัน 5 ปริมาณ ดังนั้นในการศึกษานี้จึงมีการทดสอบการบดอัดดินทั้งสิ้นจำนวน 45 การทดสอบ

ตารางที่ 4.1 คุณสมบัติพื้นฐานของดินตัวอย่างที่ใช้ในการทดสอบ

Soil type	LL [%]	PL [%]	PI [%]	G_s	Group symbol
Silty sand 1	NP	NP	NP	2.67	SM
Red clay	75	24.6	50.4	2.7	CH
Silty clay 2	37.5	15.7	21.8	2.67	CL
Silty sand 3	NP	NP	NP	2.68	SM
Silty clay 3	29.4	17.9	11.5	2.73	CL

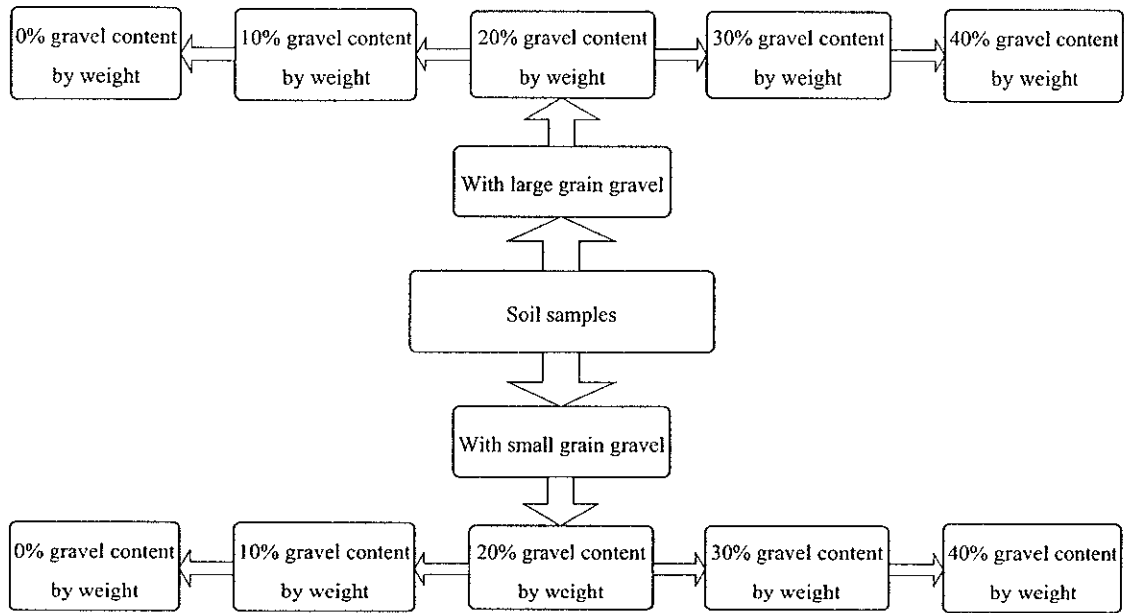


รูปที่ 4.1 การกระจายขนาดของดินที่ทำการศึกษา

4.2 ผลการทดสอบและวิเคราะห์

รูปที่ 4.3 แสดงเส้นโค้งการบดอัดจาก 45 การทดสอบการบดอัดตามมาตรฐานพล็อกเตอร์ ซึ่งแสดงให้เห็นว่าเมื่อเพิ่มปริมาณกรวด ความหนาแน่นแห้งสูงสุดจะเพิ่มขึ้น ในขณะที่ความชื้นที่เหมาะสมจะลดลงสำหรับทุกประเภทดิน ผลทดสอบการบดอัดดินทั้งหมด 45 การทดสอบ จากรูปที่ 4.3 จะพบว่าสำหรับดินที่มีความชื้นที่ optimum ประมาณ 20 เปลอร์เซ็นต์ กับรูปร่างของเส้นโค้งการบดอัดดินสำหรับดินที่มีปริมาณกรวดไม่เกินหรือเท่ากับ 20 เปลอร์เซ็นต์ สำหรับดินที่มีปริมาณกรวดมากกว่า 20 เปลอร์เซ็นต์ จะมีรูปร่างต่างกันเล็กน้อย โดยเฉพาะทางด้านแห้ง (Dry side of optimum) ซึ่งทางด้านแห้งของเส้นโค้งการบดอัดดินสำหรับดินที่มีปริมาณกรวดมากกว่า 20 เปลอร์เซ็นต์ จะมีความชันมากกว่าทางด้านแห้งของเส้นโค้งการบดอัดดินสำหรับดินที่มีปริมาณกรวดน้อยกว่า 20 เปลอร์เซ็นต์ ทั้งนี้เนื่องจากตามมาตรฐานการทดสอบการบดอัดแบบมาตรฐานพล็อกเตอร์จะต้องเปลี่ยนแบบสำหรับบดอัดดินจากแบบบดอัดขนาดเส้นผ่านศูนย์กลาง 101.6 มิลลิเมตร (4 นิ้ว) ไปเป็นแบบขนาดเส้นผ่านศูนย์กลาง 152.4 มิลลิเมตร (6 นิ้ว) เมื่อมีปริมาณกรวดผสมในดิน

เกินกว่า 20 เปอร์เซ็นต์ ซึ่งการเพิ่มขนาดของแบบบดอัดเป็นการลดการขัดของกรวดที่ผสมอยู่ในดิน จึงทำให้สามารถบดอัดดินได้ดีขึ้นและแสดงออกมาที่ความชันของเส้น โค้งการบดอัดทางด้านแห้ง



รูปที่ 4.2 แผนการทดสอบของดินแต่ละประเภท

เมื่อนำค่าความหนาแน่นแห้งสูงสุดของดินบดอัดที่ได้จากการทดสอบไปทำการคำนวณ ความหนาแน่นแห้งสูงสุดเฉพาะส่วนละเอียดซึ่งเป็นดินที่ผ่านตะแกรงเบอร์ 4 (Minus no.4 sieve) และต่อไปจะเรียกว่าดินบดอัดคั้กกรวด โดยใช้สมการที่ 4.1 และความชื้นเหมาะสมในดินบดอัดคั้กกรวด โดยใช้สมการที่ 4.2 โดยทั้งสองสมการพิสูจน์มาจาก การวิเคราะห์สถานะของส่วนประกอบ ในดินจากปริมาณกรวดที่ผสมอยู่ในดินและความหนาแน่นของกรวด

$$\rho'_{d \max} = \frac{\rho_{d \max}}{1 + P_g - \frac{P_g \rho_{d \max}}{\rho_g}} \quad (4.1)$$

$$w'_{\text{opt}} = w_{\text{opt}} (1 + P_g) \quad (4.2)$$

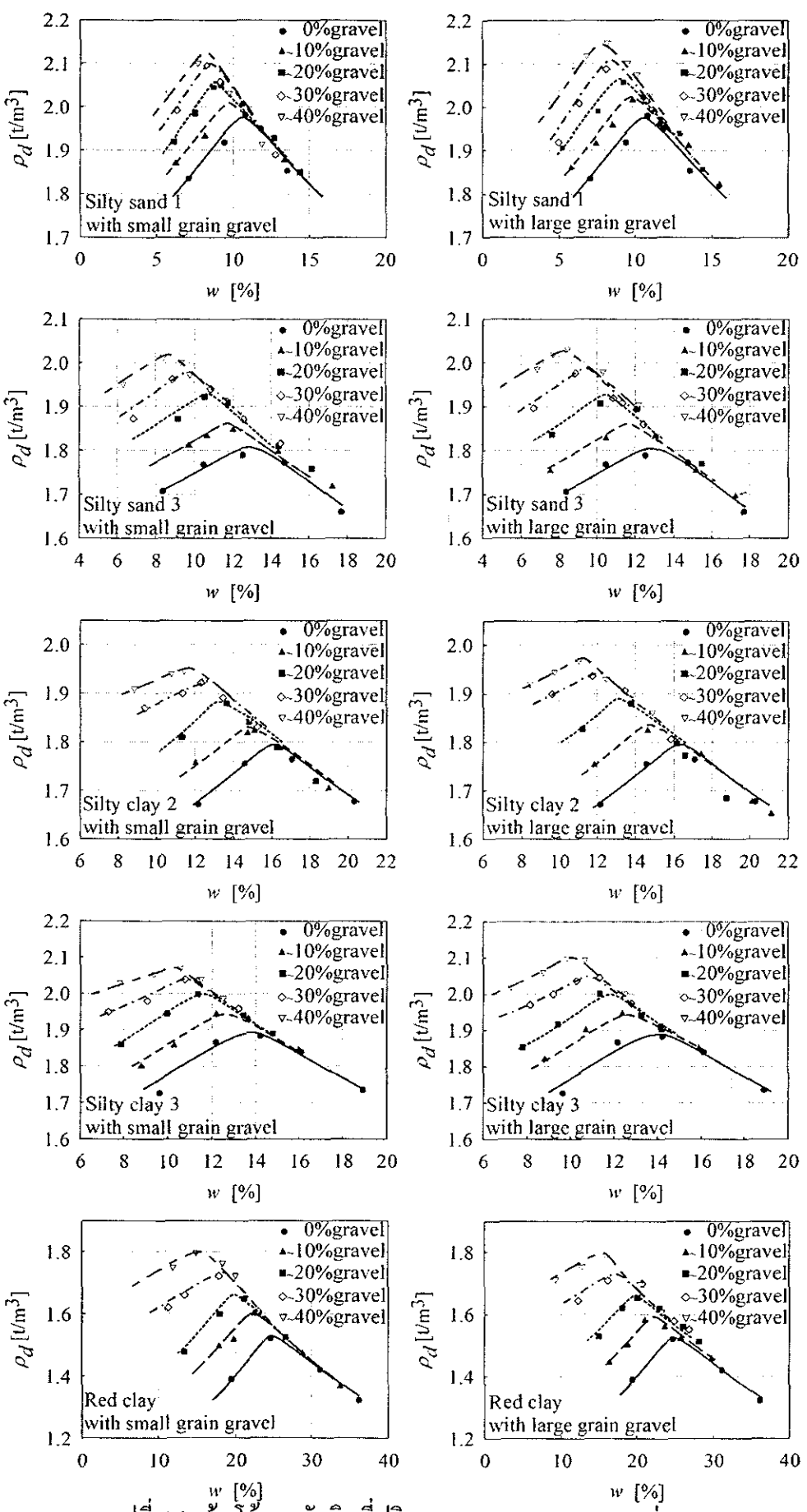
โดยที่	$\rho_{d \max}$	คือ ความหนาแน่นแห้งสูงสุดของดินบดอัด
	w_{opt}	คือ ความชื้นที่เหมาะสมของดินบดอัด
	$\rho'_{d \max}$	คือ ความหนาแน่นแห้งสูงสุดของดินบดอัดคั้กกรวด
	w'_{opt}	คือ ความชื้นที่เหมาะสมของดินบดอัดคั้กกรวด
	ρ_g	คือ ความหนาแน่นของกรวด
	P_g	คือ สัดส่วนโดยน้ำหนักของกรวดต่อน้ำหนักดินทั้งหมด

คำนวณความหนาแน่นแห้งสูงสุดของดินบดอัดในจินตภาพ (Idealized maximum dry density, $\rho_{d\max I}$) จากสมการที่ 4.3 ซึ่งเสนอโดย Shockley (1948) สำหรับคำนวณความหนาแน่นแห้งของดินปั้นกรวดที่ปริมาณกรวดต่าง ๆ โดยสมมติให้ช่องว่างระหว่างกรวดจะถูกเติมเต็มด้วยเม็ดดินที่ความหนาแน่นแห้งสูงสุดที่ได้จากการบดอัดเม็ดดินตามมาตรฐานพลีอคเตอร์ โดยเมื่อมีปริมาณกรวดในดินเพิ่มมากขึ้น สัดส่วนของกรวดจะมีค่าเพิ่มขึ้น ขณะที่สัดส่วนของดินที่ความหนาแน่นแห้งสูงสุดที่ได้จากการบดอัดเม็ดดินตามมาตรฐานพลีอคเตอร์จะมีค่าลดลง ค่าความหนาแน่นแห้งสูงสุดของดินบดอัดตามทฤษฎี จึงเปลี่ยนแปลงตามสัดส่วนของดินและกรวด

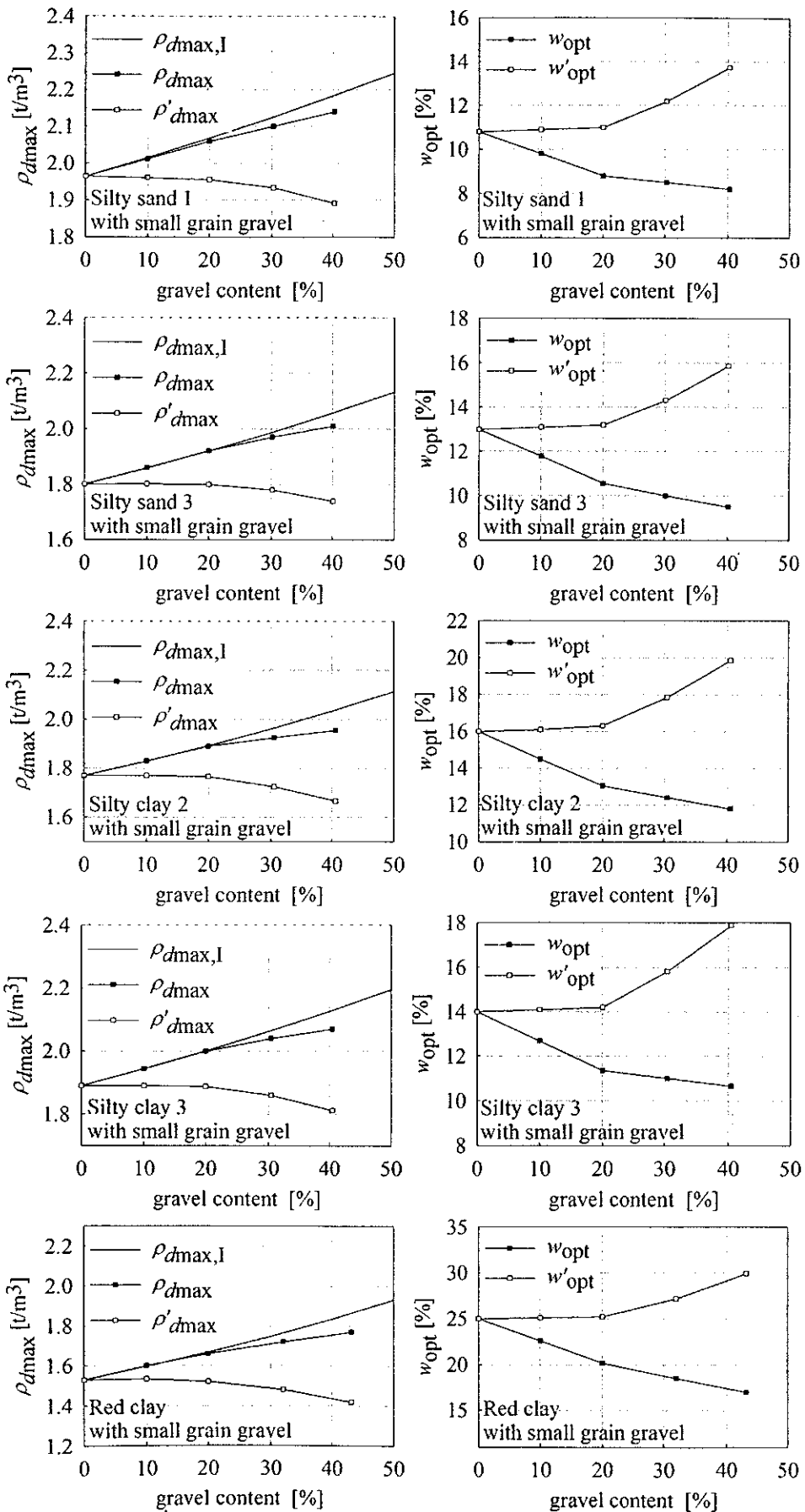
$$\rho_{d\max I} = \frac{1}{\left(\frac{P_f}{\rho_{d\max f}}\right) + \left(\frac{P_g}{\rho_g}\right)} \quad (4.3)$$

โดยที่	$\rho_{d\max I}$	คือ ความหนาแน่นแห้งสูงสุดในจินตภาพ (Idealized maximum dry density)
	P_f	คือ สัดส่วนโดยน้ำหนักของส่วนลักษณะเดียดต่อน้ำหนักดินทั้งหมด
	P_g	คือ สัดส่วนโดยน้ำหนักของกรวดต่อน้ำหนักดินทั้งหมด
	$\rho_{d\max f}$	คือ ความหนาแน่นแห้งสูงสุดของเม็ดดินที่ถูกบดอัดตามมาตรฐานพลีอคเตอร์

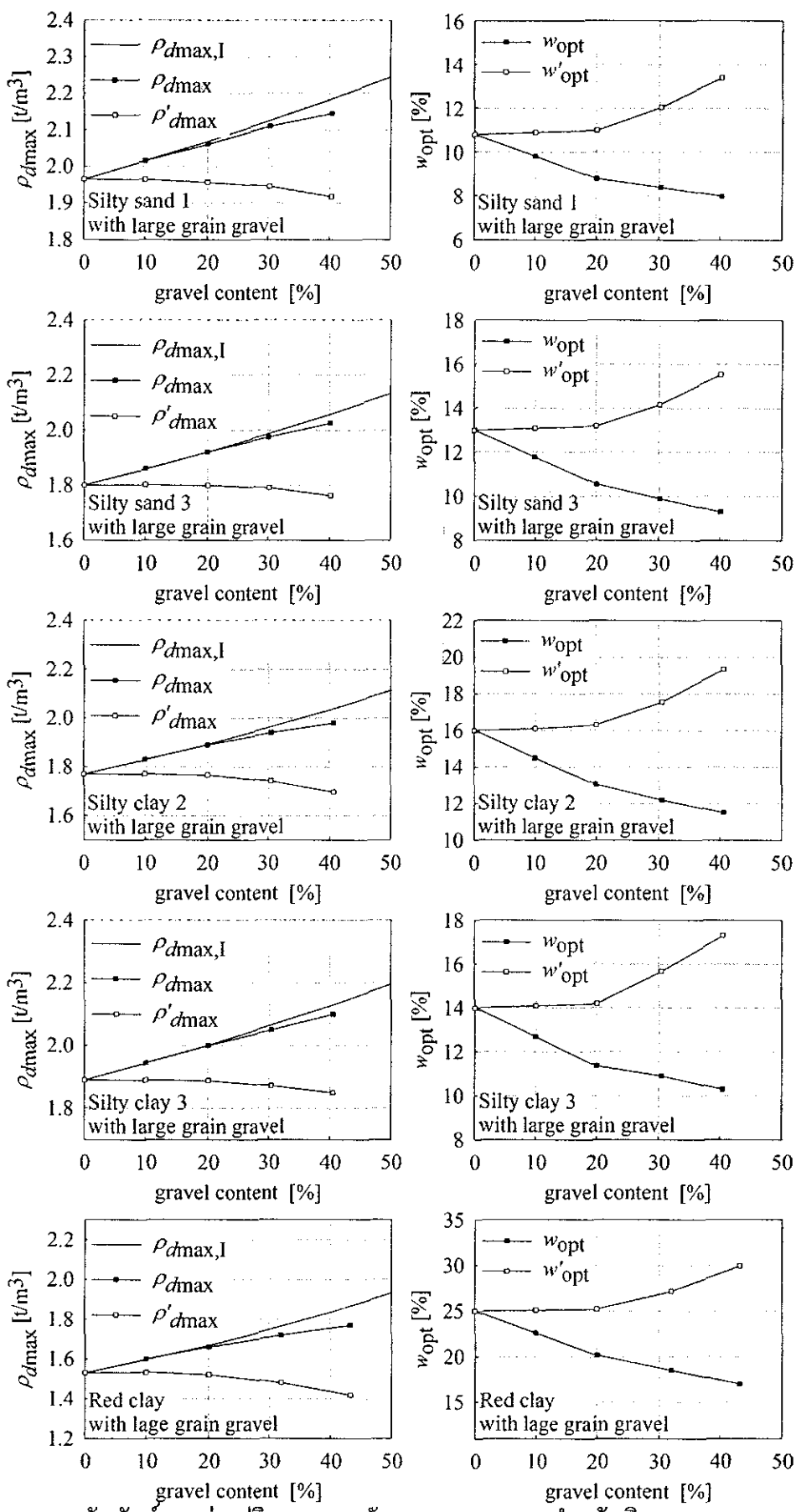
รูปที่ 4.4 และรูปที่ 4.5 แสดงความสัมพันธ์ระหว่างความหนาแน่นแห้งสูงสุดทั้งที่ได้จากการทดสอบและการคำนวณโดยใช้สมการที่ 4.1 และสมการที่ 4.3 พบร่วมกับปริมาณกรวดมีค่าไม่เกิน 10 เปอร์เซ็นต์ ความหนาแน่นแห้งสูงสุดของดินบดอัดและความหนาแน่นแห้งสูงสุดทางทฤษฎีมีค่าเท่ากัน และเมื่อเพิ่มปริมาณกรวดถึง 20 เปอร์เซ็นต์ จะเริ่มสังเกตเห็นความแตกต่างระหว่างความหนาแน่นแห้งสูงสุดกับความหนาแน่นแห้งสูงสุดทางทฤษฎี อย่างไรก็ตามความแตกต่างดังกล่าวจะมีค่าน้อยมาก แต่เมื่อเพิ่มปริมาณกรวดจนมีปริมาณมากกว่า 20 เปอร์เซ็นต์ ขึ้นไปความแตกต่างระหว่างความหนาแน่นแห้งสูงสุดกับความหนาแน่นแห้งสูงสุดทางทฤษฎีจะเพิ่มขึ้นอย่างเห็นได้ชัด



รูปที่ 4.3 เส้นโค้งบดอัดคืนที่ปริมาณกรวดและขนาดกรวดต่างๆ



รูปที่ 4.4 ความสัมพันธ์ระหว่างปริมาณกรวดกับ $\rho'_{d\max}$ และ w_{opt} สำหรับดินผสมกรวดขนาดเล็ก



รูปที่ 4.5 ความสัมพันธ์ระหว่างปริมาณกรวดกับ ρ_{dmax} และ w_{opt} สำหรับดินผสมกรวดขนาดใหญ่

การที่ความหนาแน่นแห่งสูงสุดของคินบอัดและความหนาแน่นแห่งสูงสุดทางทฤษฎีมีค่าเท่ากันหรือใกล้เคียงกันในช่วงที่มีการทดสอบอยู่ไม่เกิน 20 เปอร์เซ็นต์ แสดงให้เห็นว่ากรดไม่ได้ไปขัดขวางการจัดเรียงตัวของเม็ดคินในระหว่างที่เม็ดคินถูกบอัด แต่กรดจะไปขัดขวางการจัดเรียงตัวของคินเม็ดละอิบ เมื่อปริมาณกรดมากกว่า 20 เปอร์เซ็นต์ ดังจะเห็นได้จากการที่ความหนาแน่นแห่งสูงสุดทางทฤษฎีมีค่าสูงกว่าความหนาแน่นแห่งสูงสุดของคินบอัดอย่างชัดเจน ซึ่งเมื่อพิจารณาความหนาแน่นแห่งสูงสุดของคินบอัดคัดกรดที่ปริมาณทดสอบใด ๆ ก็จะเห็นได้อย่างชัดเจนว่าความหนาแน่นแห่งสูงสุดของคินบอัดคัดกรดมีค่าลดลงเมื่อกรดมีปริมาณสูงกว่า 20 เปอร์เซ็นต์

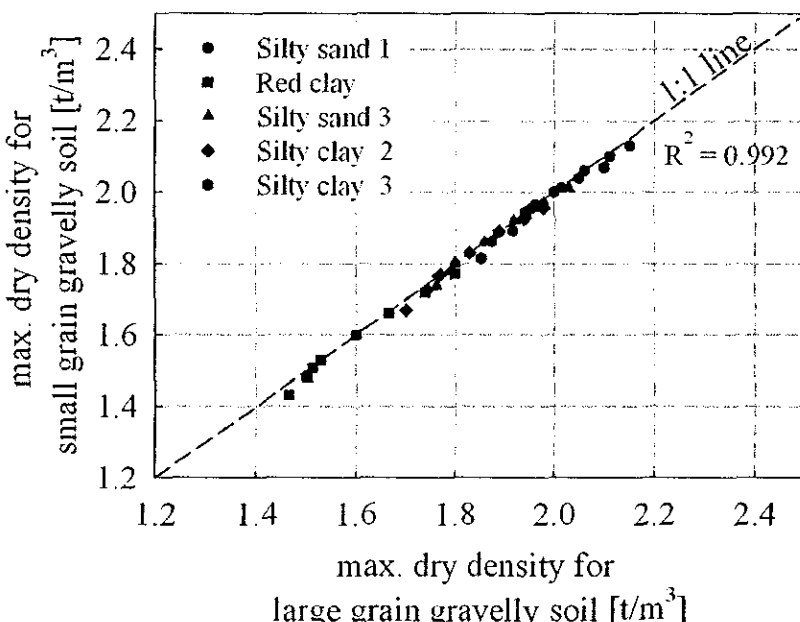
นอกจากนี้ในรูปที่ 4.4 และ รูปที่ 4.5 แสดงความสัมพันธ์ระหว่างปริมาณกรดกับความชื้นที่เหมาะสมของคินบอัด และความชื้นที่เหมาะสมของคินบอัดคัดกรดซึ่งคำนวณโดยใช้สมการที่ 4.2 จะพบว่าความชื้นของคินบอัดคัดกรดมีค่าเกือบคงที่ในช่วงที่มีปริมาณกรดไม่เกิน 20 เปอร์เซ็นต์ และจะมีค่าเพิ่มขึ้นอย่างชัดเจนเมื่อเพิ่มปริมาณกรดมากกว่า 20 เปอร์เซ็นต์

งานวิจัยหลายชิ้นได้บ่งชี้ให้เห็นว่าความชื้นที่เหมาะสมมีความสัมพันธ์กับพลังงานที่ใช้ในการบดอัดคิน โดยความชื้นที่เหมาะสมจะมีค่าลดลงตามพลังงานบดอัดที่เพิ่มขึ้น เช่น Boutwell (1961) Blotz et al. (1998) และ Horpibulsuk et al. (2009) เป็นต้น ดังนั้นการที่ความชื้นที่เหมาะสมของคินบดอัดคัดกรดเพิ่มขึ้นตามการเพิ่มขึ้นของปริมาณกรด เป็นการบ่งชี้ว่าพลังงานการบดอัดที่ถ่ายทอดไปสู่เม็ดคินลดลงตามปริมาณกรดที่เพิ่มขึ้นเกินกว่า 20 เปอร์เซ็นต์

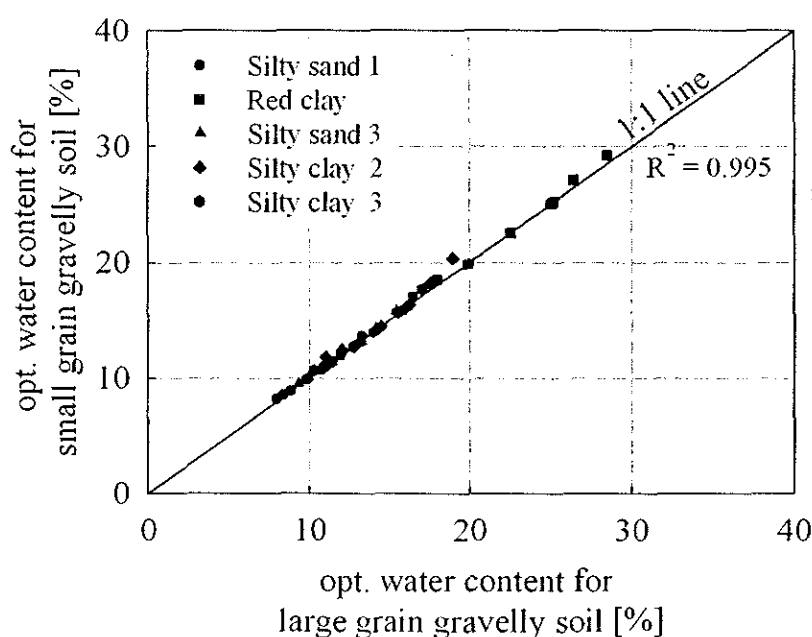
จากการศึกษาความสัมพันธ์ระหว่าง $\rho_{d_{max}}$ และ $\rho'_{d_{max}}$ ของคินบอัดที่ทดสอบขนาดเล็กและคินบอัดที่ทดสอบขนาดใหญ่ ที่ปริมาณกรดเท่ากันดังแสดงในรูปที่ 4.6 และความสัมพันธ์ระหว่าง w_{opt} และ w'_{opt} ของคินบอัดที่ทดสอบขนาดเล็กและคินบอัดที่ทดสอบขนาดใหญ่ที่ปริมาณกรดเท่ากันดังแสดงในรูปที่ 4.7 พบว่าพิกัดของความหนาแน่นแห่งสูงสุดอยู่ตรงหรือต่ำกว่าเส้น 1:1 เล็กน้อย ในขณะที่พิกัดของความชื้นที่เหมาะสมอยู่ตรงหรือสูงกว่าเส้น 1:1 เล็กน้อย นั่นคือ คินที่ทดสอบขนาดใหญ่จะมีความหนาแน่นแห่งสูงสุดสูงกว่าคินที่ทดสอบขนาดเล็ก และความชื้นที่เหมาะสมของคินที่ทดสอบขนาดใหญ่จะมีค่าต่ำกว่าคินที่ทดสอบขนาดเล็ก ซึ่งแสดงให้เห็นว่าที่ปริมาณกรดเท่ากัน กรดที่มีขนาดเม็ดเล็กซึ่งมีจำนวนเม็ดมากกว่าจะหักกันมากกว่า จึงไปขัดขวางการเรียงตัวของเม็ดคินได้มากกว่า นอกจากนี้กรดขนาดใหญ่มีการคละกันค่อนข้างมากกว่า กล่าวคือระหว่างขนาดเส้นผ่านศูนย์กลางระหว่าง 9.5 มิลลิเมตรถึง 19 มิลลิเมตร ในขณะที่กรดขนาดเล็กมีขนาดเส้นผ่านศูนย์กลางระหว่าง 4.75 มิลลิเมตรถึง 9.5 มิลลิเมตร จึงทำให้การบดอัดคินทดสอบขนาดใหญ่สามารถบดอัดได้ดีกว่าคินทดสอบขนาดเล็ก แต่อย่างไรก็ตามเมื่อพิจารณาจากรูปที่ 4.6 และ 4.7 ซึ่งพบว่าพิกัดของข้อมูลเบี่ยงเบนจากเส้น

1:1 น้อยมาก (R^2 มากกว่า 0.99) ซึ่งทำให้สามารถสรุปได้ว่า ขนาดของกรวดรวมทั้งการคละขนาดของกรวดมีอิทธิพลต่อผลทดสอบการบดอัดคืนน้อยมาก

จากผลทดสอบและทวีเคราะห์ข้างต้นทำให้สามารถสรุปได้ว่ากรวดจะมีอิทธิพลต่อผลทดสอบการบดอัดคืนเมื่อปริมาณกรวดมีมากเกินกว่า 20 เปอร์เซ็นต์ และปัจจัยหลักต่อผลทดสอบการบดอัดคืนคือปริมาณกรวดที่ผสมในดินบดอัด โดยเมื่อกรวดมีปริมาณเกินกว่า 20 เปอร์เซ็นต์ จะขัดขวางการจัดเรียงตัวของเม็ดคินในระหว่างการบดอัดทำให้เม็ดคินได้รับพลังงานในการบดอัดลดลง



รูปที่ 4.6 ความสัมพันธ์ระหว่าง $\rho_{d_{max}}$ ของดินบดอัดที่ผสมกรวดขนาดเล็กและกรวดขนาดใหญ่



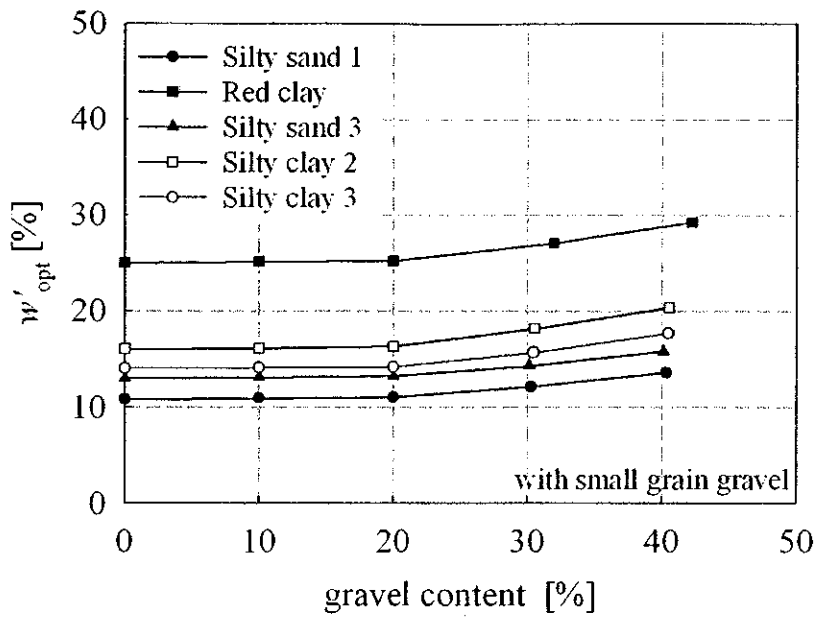
รูปที่ 4.7 ความสัมพันธ์ระหว่าง w_{opt} ของดินบดอัดที่ผสมกรวดขนาดเล็กและกรวดขนาดใหญ่

4.3 ความสัมพันธ์ระหว่างพลังงานบดอัดและปริมาณกรวด

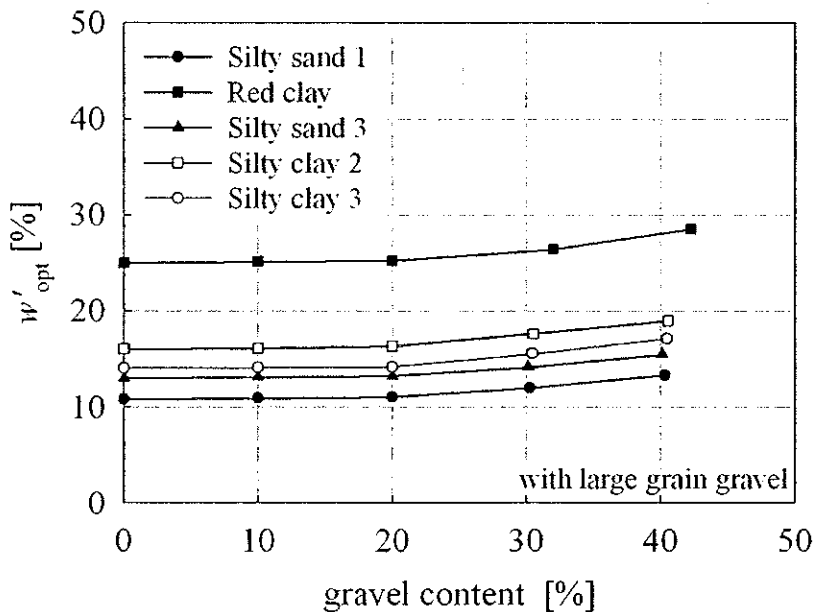
จากผลทดสอบในหัวข้อที่ 4.2 พบว่าสำหรับดินชนิดหนึ่ง เมื่อปริมาณกรวดที่ผสมในดินมีค่าเพิ่มขึ้นเกินกว่า 20 เปอร์เซ็นต์ กรวดจะขัดกัน และคุณภาพลังงานบดอัดดินบางส่วนไว้ทำให้พลังงานบดอัดที่จะถ่ายทอดไปสู่ส่วนละเอียดมีค่าลดลง ดังจะเห็นได้จากความชื้นที่เหมาะสมของดินบดอัดคัดกรวดมีค่าเพิ่มขึ้นตามปริมาณกรวดที่เพิ่มขึ้นมากกว่า 20 เปอร์เซ็นต์ ดังแสดงในรูปที่ 4.8

รูปที่ 4.9 แสดงเส้นโค้งบดอัดของดินทั้ง 5 ประเภท ที่ถูกบดอัดด้วยพลังงานบดอัด 148.1 kJ/m^3 197.5 kJ/m^3 296.2 kJ/m^3 และ 592.5 kJ/m^3 และรูปที่ 4.10 ความสัมพันธ์ระหว่างความชื้นที่เหมาะสมกับพลังงานที่ใช้ในการบดอัดดิน จากความสัมพันธ์ที่กล่าวมาข้างต้น สามารถแปลงอิทธิพลของกรวดให้เป็นพลังงานบดอัดที่ถ่ายทอดสู่ส่วนละเอียด ได้ รูปที่ 4.11 แสดงแผนภาพการแปลงอิทธิพลของกรวดเป็นพลังงานบดอัดที่ถ่ายทอดสู่ส่วนละเอียด จากรูปเป็นการแสดงขั้นตอนการแปลงอิทธิพลของกรวดเป็นพลังงานที่ถ่ายทอดสู่ส่วนละเอียดสำหรับดิน Silty clay 2 ที่มีกรวดผสมอยู่ 30 เปอร์เซ็นต์ เมื่อแปลงปริมาณกรวด 30 เปอร์เซ็นต์เป็นค่า 1/gravel content ได้เท่ากับ 3.33 นำไปอ่านความชื้นเหมาะสมของดินบดอัดคัดกรวดในรูปที่ 4.8 จะได้ความชื้นเหมาะสมของดินบดอัดคัดกรวดเท่ากับ 18 เปอร์เซ็นต์ นำความชื้นเหมาะสมของดินบดอัดคัดกรวดที่อ่านได้จากรูปที่ 4.8 ไปอ่านค่าพลังงานบดอัดจากรูปที่ 4.10 ได้ค่าเท่ากับ 278 kJ/m^3 จากนั้นนำค่า 1/gravel content กับพลังงานที่อ่านได้จากรูปที่ 4.10 มาพล็อตกราฟโดยกำหนดให้ค่า 1/gravel content เป็นแกนต์ส์ ให้ค่าพลังงานเป็นแกนนอน เมื่อทำเช่นนี้ที่ปริมาณกรวดอื่นๆ กับดินทั้งหมดที่นำมาทดสอบ จะได้พลังงานที่ถ่ายทอดสู่ส่วนละเอียดเนื่องจากอิทธิพลของกรวด ดังรูปที่ 4.12

จากรูปที่ 4.12 พบว่าที่ปริมาณกรวดไม่เกิน 20 เปอร์เซ็นต์ พลังงานบดอัดทั้งหมดจะถ่ายทอดไปสู่ส่วนละเอียด นั่นคือเมื่อพลังงานบดอัดที่ถ่ายทอดสู่ส่วนละเอียดเท่ากับพลังงานบดอัดตามมาตรฐานพล็อกเตอร์ เท่ากับ 592.5 kJ/m^3 แต่เมื่อปริมาณกรวดเพิ่มขึ้นมากกว่า 20 เปอร์เซ็นต์ พลังงานบดอัดที่ถ่ายทอดสู่ส่วนละเอียดจะลดลง และที่ปริมาณกรวดหนึ่งๆ พลังงานบดอัดที่ถ่ายทอดสู่ส่วนละเอียดจะมีค่ากระจายอยู่ในช่วงแคบ ๆ ซึ่งทำให้สามารถสรุปได้ว่าปริมาณกรวดที่ผสมอยู่ในดินเป็นปัจจัยหลักที่ส่งผลต่อพลังงานบดอัดที่ถ่ายทอดสู่ส่วนละเอียด โดยไม่ขึ้นกับประเภทของดิน รวมทั้งขนาดและการคละขนาดของกรวด

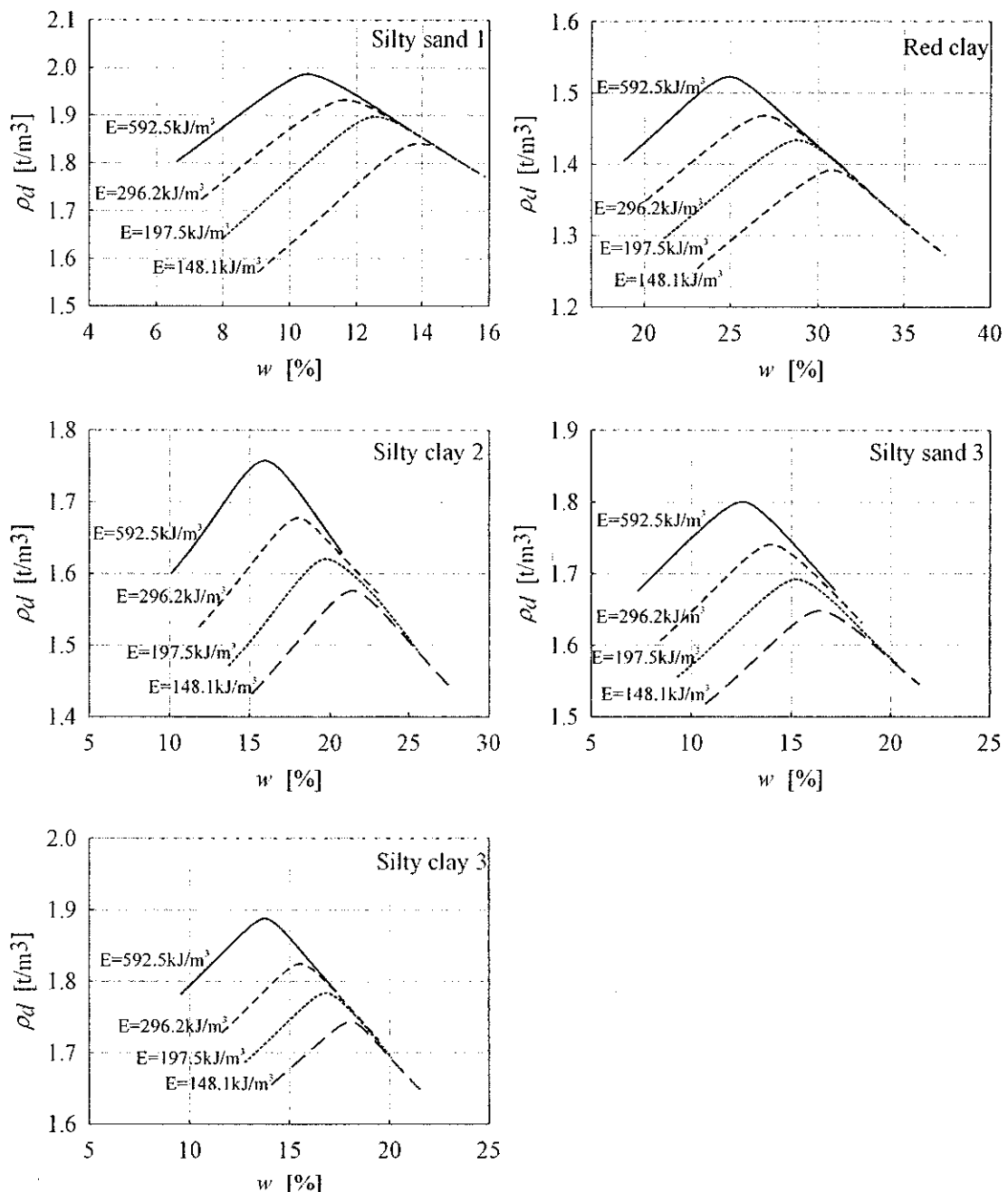


(ก) คินผสมกรดขนาดเด็ก



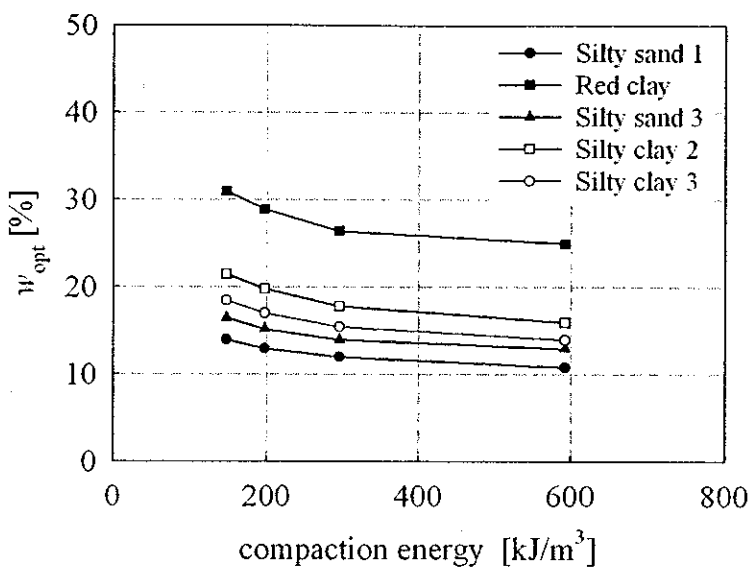
(ข) คินผสมกรดขนาดใหญ่

รูปที่ 4.8 ความสัมพันธ์ระหว่างปริมาณกรวดและ w'_{opt} ของคินผสมกรดขนาดเด็ก และกรดขนาดใหญ่

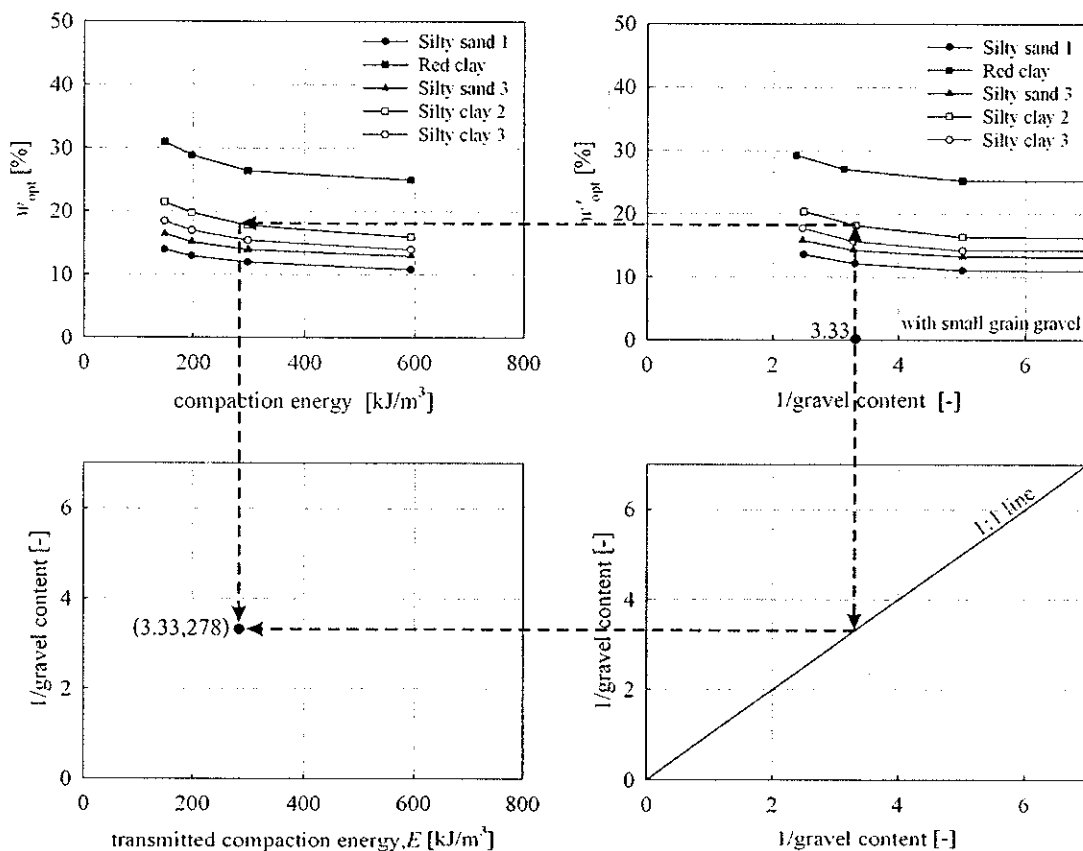


รูปที่ 4.9 เส้นโค้งบดอัดของดินทั้ง 5 ประเภทที่ถูกบดอัดด้วยพลังงานบดอัด

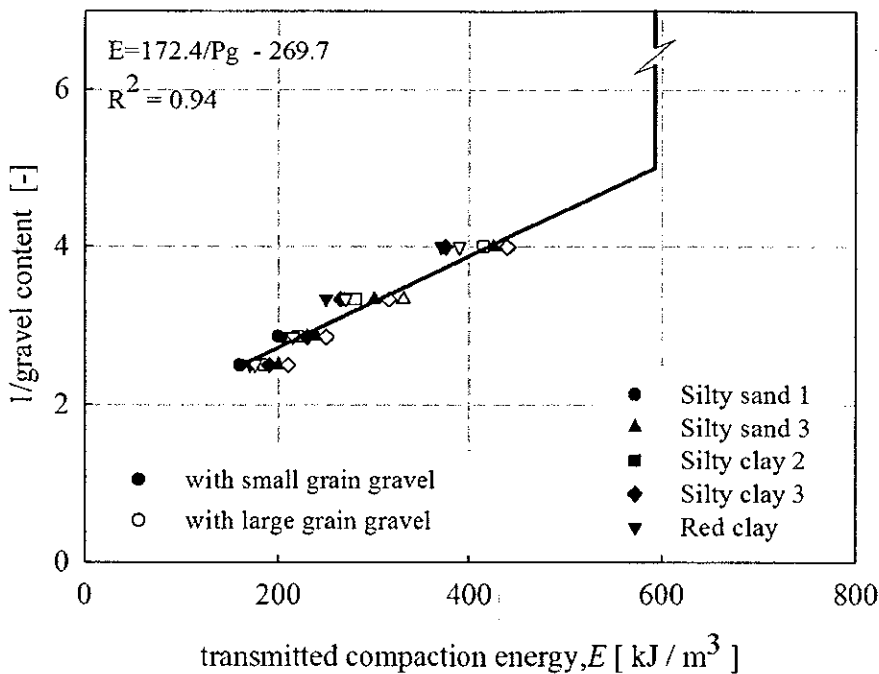
148.1 kJ/m^3 197.5 kJ/m^3 296.2 kJ/m^3 และ 592.5 kJ/m^3



รูปที่ 4.10 ความสัมพันธ์ระหว่าง w_{opt} กับพลังงานที่ใช้ในการบดอัดดิน



รูปที่ 4.11 แผนภาพการแปลงอิทธิผลของกรวดเป็นพลังงานบดอัดที่ถ่ายทอดสู่ส่วนละเอียด



รูปที่ 4.12 ความสัมพันธ์ระหว่างพลังงานบดอัดที่ถ่ายทอดสู่ส่วนละเอียดและปริมาณกรวด

4.4 การประมาณคุณลักษณะการบดอัดของดินปืนกรวดด้วยชุดทดสอบการบดอัดขนาดเล็ก

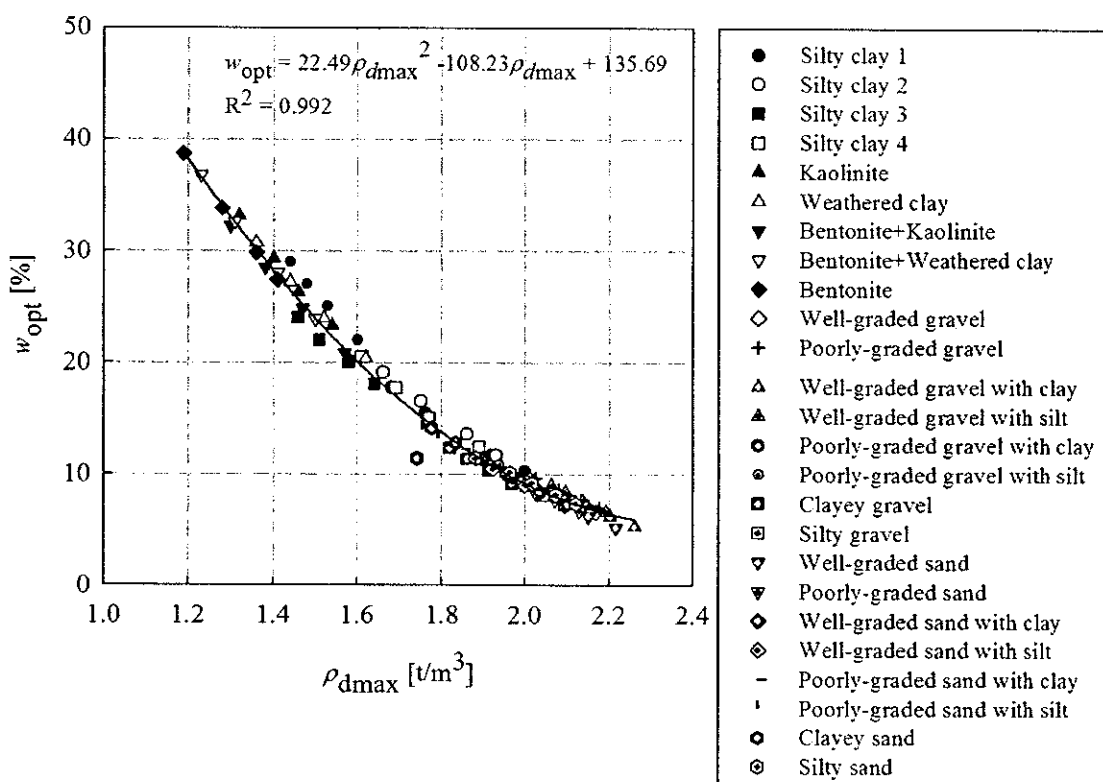
ชุดทดสอบการบดอัดขนาดเล็กที่เสนอไปในบทที่ 3 สามารถใช้หาความหนาแน่นแห้งสูงสุด และความชื้นที่เหมาะสมของดินที่มีขนาดเม็ดดินใหญ่สุดไม่เกิน 4.75 มิลลิเมตรที่พลังงานบดอัดตามมาตรฐานพล็อกเตอร์ได้เป็นอย่างดี แต่มีข้อจำกัดที่ไม่สามารถนำไปใช้ทดสอบการบดอัดกับดินปืนกรวดได้ อย่างไรก็ตามจากผลทดสอบและวิเคราะห์ในหัวข้อที่ผ่านมา ทำให้ทราบว่าพลังงานบดอัดที่ถ่ายทอดสู่ส่วนละเอียดซึ่งกับปริมาณกรวดที่ผสมอยู่ในดิน และได้เสนอความสัมพันธ์ระหว่างพลังงานบดอัดที่ถ่ายทอดสู่ส่วนละเอียดกับปริมาณกรวดที่ผสมอยู่ในดิน เมื่อทำการบดอัดดินปืนกรวดตามมาตรฐานพล็อกเตอร์ เป็นที่ทราบกันโดยทั่วไปว่า สำหรับดินชนิดหนึ่ง ๆ คุณลักษณะการบดอัดของดินจะขึ้นกับพลังงานบดอัด และมีงานวิจัยที่ผ่านมาได้นำเสนอสมการในการประมาณความชื้นที่เหมาะสมที่พลังงานบดอัดต่าง ๆ เช่น Boutwell (1961); Bloot et al. (1998) และ Horpibulsuk et al. (2009) ดังนั้นการหาความหนาแน่นแห้งสูงสุด และความชื้นที่เหมาะสมของส่วนละเอียดในดินปืนกรวดที่บดอัดตามมาตรฐานพล็อกเตอร์จึงสามารถทำได้ และเมื่อทราบความหนาแน่นแห้งสูงสุด และความชื้นที่เหมาะสมของส่วนละเอียดแล้วจะสามารถคำนวณความหนาแน่นแห้งสูงสุด และความชื้นที่เหมาะสมของดินปืนกรวดที่บดอัดตามมาตรฐานพล็อกเตอร์ได้ จากสมการที่ 4.4 และ 4.5 ตามลำดับ

$$\rho_{d\max} = \frac{1}{\frac{P_f}{\rho'_{d\max}} + \frac{P_g}{2.65}} \quad (4.4)$$

$$w_{\text{opt}} = \frac{w'_{\text{opt}}}{(1 + \frac{P_g}{P_f})} \quad (4.5)$$

โดยที่	$\rho_{d\max}$	คือ ความหนาแน่นแห้งสูงสุดของดินบดอัด
	w_{opt}	คือ ความชื้นที่เหมาะสมของดินบดอัด
	$\rho'_{d\max}$	คือ ความหนาแน่นแห้งสูงสุดของดินบดอัดกัดกรວด
	w'_{opt}	คือ ความชื้นที่เหมาะสมของดินบดอัดกัดกรວด
	P_g	คือ สัดส่วนโดยน้ำหนักของกรวดต่อน้ำหนักดินทั้งหมด
	P_f	คือ สัดส่วนโดยน้ำหนักของส่วนละเอียดต่อน้ำหนักดินทั้งหมด
	2.65	คือ ค่าเฉลี่ยความหนาแน่นของกรวด

จากการรวบรวมผลทดสอบการบดอัดดินจากบทความวิจัยของ Horpibulsuk et al. (2009) พบว่าสามารถสร้างสมการการถดถอยแสดงความสัมพันธ์ระหว่างความหนาแน่นแห้งสูงสุดและความชื้นที่เหมาะสมได้ที่ค่า R^2 สูงถึง 0.992 ดังแสดงในรูปที่ 4.13



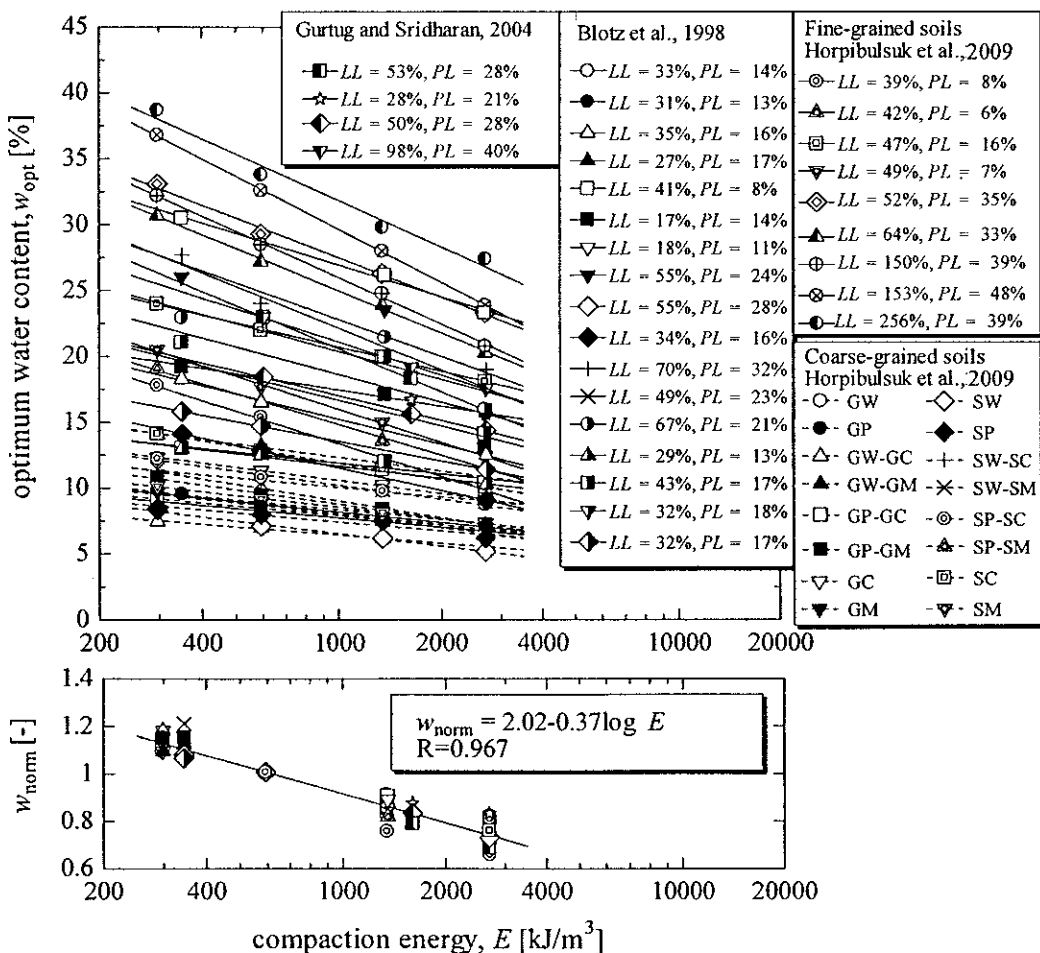
รูปที่ 4.13 ความสัมพันธ์ระหว่าง $\rho_{d\max}$ กับ w_{opt}

นอกจากรายงาน Horpibulsuk et al. (2009) ได้ร่วบรวมผลทดสอบการบดอัดดิน 25 ประเภท สำหรับความชื้นที่เหมาะสม ในช่วงระดับพลังงานเท่ากับ 296.3 kJ/m^3 ถึง 2693.3 kJ/m^3 ดังแสดงในรูปที่ 4.14 และทำการวิเคราะห์ความถดถอยได้ดังสมการที่ 4.6

$$w_{\text{opt, norm}} = \frac{w_{\text{opt}}}{w_{\text{opt,st}}} = 2.02 - 0.37 \log E \quad (4.6)$$

- โดยที่ $w'_{\text{opt, norm}}$ คือ ความชื้นที่เหมาะสมปกติ (Normalized optimum water content)
 w'_{opt} คือ ความชื้นที่เหมาะสมที่ระดับพลังงานใด ๆ
 $w'_{\text{opt,st}}$ คือ เป็นความชื้นที่เหมาะสมที่ระดับพลังงาน 592.5 kJ/m^3

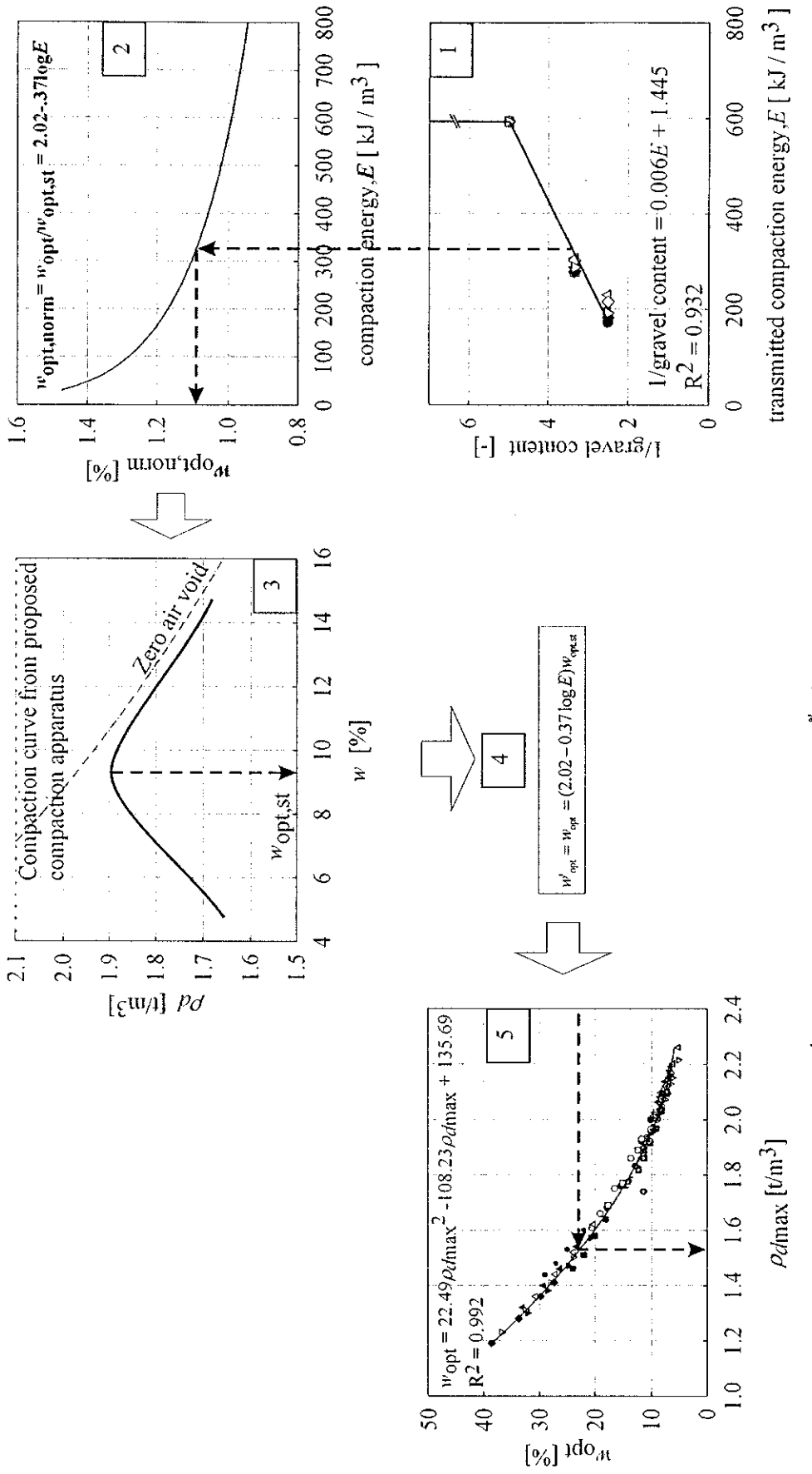
จากรูปที่ 4.13 และรูปที่ 4.14 จะพบว่าหากทราบพลังงานที่เม็ดดินได้รับในการบดอัดดิน และความชื้นที่เหมาะสมที่ระดับพลังงาน 592.5 kJ/m^3 จะสามารถประมาณคุณลักษณะการบดอัดของเม็ดดินที่ระดับพลังงานนั้นๆ ได้



รูปที่ 4.14 ความสัมพันธ์ระหว่างพลังงานการบดอัดกับ w_{opt} (Horpibulsuk et al., 2009)

รูปที่ 4.15 แสดงแผนภาพการประมาณความชี้นที่เหมาะสมและความหนาแน่นแห่งสูงสุดของเม็ดินในดินปนกรวดที่ได้รับการบดอัดแบบมาตรฐานพลีอคเตอร์ ซึ่งสามารถสรุปเป็นขั้นตอนได้ดังนี้

- (ก) แยกกรดออกจากดินปนกรวด พร้อมทั้งหาสัดส่วนกรวดที่ผสมในดิน
 - (ข) นำดินที่กัดกรดไปทางทดสอบการบดอัดโดยใช้ชุดทดสอบการบดอัดขนาดเล็กเพื่อสร้างเตื้อนໂองการบดอัดแบบมาตรฐานพลีอคเตอร์
 - (ค) จากปริมาณกรวดที่ผสมในดินปนกรวด อ่านค่าพลังงานบดอัดที่ถ่ายทอดสู่ส่วนละเอียดจากรูปที่ 4.12
 - (ง) จากพลังงานบดอัดที่ถ่ายทอดสู่ส่วนละเอียดที่อ่านได้ นำไปคำนวณความชี้นที่เหมาะสมปกติจากรูปที่ 4.14
 - (จ) คำนวณความชี้นที่เหมาะสมของส่วนละเอียด จากความชี้นที่เหมาะสมปกติที่คำนวณได้จากการ 4.6 ในข้อ (ง) และความชี้นที่เหมาะสมที่อ่านได้จากเตื้อนໂองการบดอัดแบบมาตรฐานพลีอคเตอร์ ที่ได้จาก (ข)
 - (ณ) จากความชี้นที่เหมาะสมที่คำนวณได้จากข้อ (จ) นำไปอ่านความหนาแน่นแห่งสูงสุดของส่วนละเอียดจากรูปที่ 4.13
- เมื่อได้ความชี้นที่เหมาะสมและความหนาแน่นแห่งสูงสุดของส่วนละเอียดแล้ว จะสามารถคำนวณความชี้นที่เหมาะสม และความหนาแน่นแห่งสูงสุดของดินปนกรวดที่ได้รับการบดอัดแบบมาตรฐานพลีอคเตอร์ได้จากการที่ 4.4 และสมการที่ 4.5 ตามลำดับ



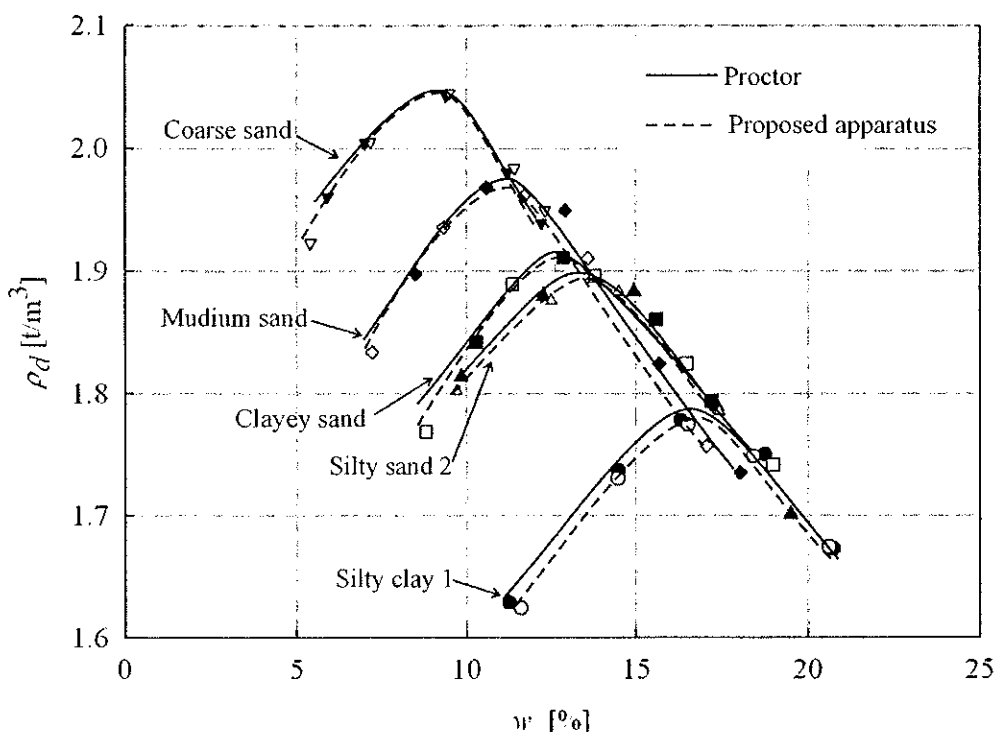
รูปที่ 4.15 เมนูการประมวลผลความชื้นที่เหมาะสมและความหนาแน่นแห่งถุงดัก
ของส่วนละเอียดในตันปันราก

บทที่ 5

ผลทดสอบ

3.2 ผลทดสอบการบดอัดดินด้วยชุดทดสอบการบดอัดขนาดเล็ก

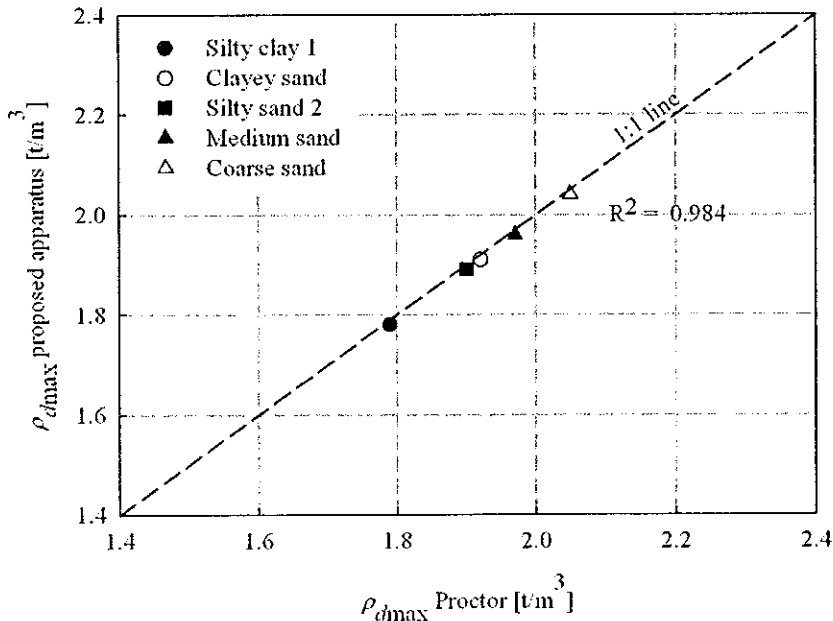
ทำการตรวจสอบการใช้ชุดทดสอบการบดอัดขนาดเล็กในการบดอัดดินเทียบกับชุดทดสอบการบดอัดดินแบบมาตรฐานพลีอคเตอร์ โดยใช้ตัวอย่างดิน 5 ชนิด ได้แก่ (1) Silty sand 2 (2) Silty clay 1 (3) Clayey sand (4) Medium sand และ (5) Coarse sand ซึ่งมีการกระจายขนาดของเม็ดดินดังรูปที่ 3.1 และมีคุณสมบัติทางกายภาพและดัชนีแสดงดังตารางที่ 3.1 ซึ่งดินหัก 5 ชนิดล้วนเป็นดินที่มีขนาดเม็ดดินใหญ่สุดไม่เกิน 4.75 มิลลิเมตร



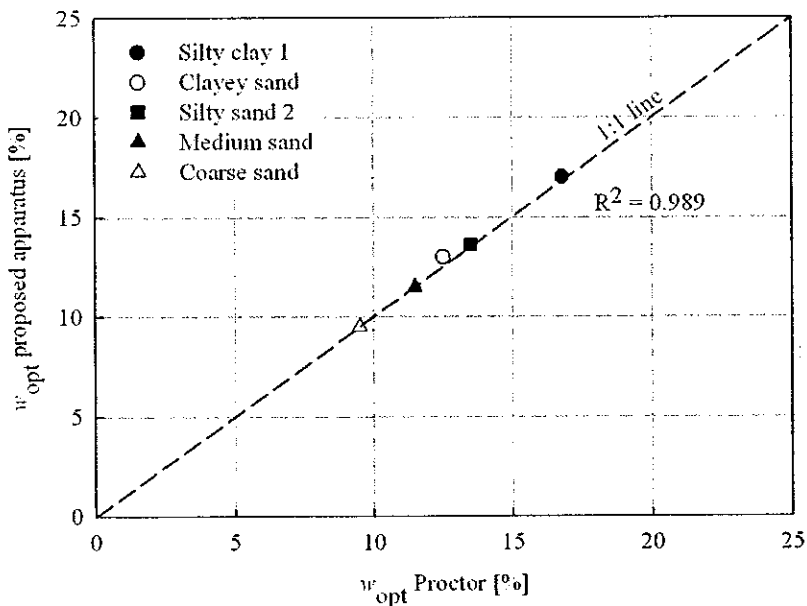
รูปที่ 5.1 เส้นโค้งการบดอัดจากชุดทดสอบมาตรฐานและชุดทดสอบการบดอัดขนาดเล็ก

รูปที่ 5.1 แสดงเส้นโค้งการบดอัดของดินหัก 5 ชนิดที่บดอัดโดยใช้ชุดทดสอบการบดอัดขนาดเล็ก เทียบกับผลทดสอบการบดอัดแบบมาตรฐานพลีอคเตอร์ จากรูปพบว่าผลการทดสอบบดอัดโดยชุดทดสอบบดอัดขนาดเล็กและชุดทดสอบบดอัดแบบมาตรฐานพลีอคเตอร์ให้ผลการทดสอบไม่ต่างกัน รูปที่ 5.2 ก แสดงการเปรียบเทียบระหว่างค่า $\rho_{d\max}$ ที่ได้จากการทดสอบการบดอัดแบบมาตรฐานพลีอคเตอร์ กับค่า $\rho_{d\max}$ ที่ได้จากการทดสอบการบดอัดโดยใช้ชุดทดสอบการบดอัดแบบมาตรฐานพลีอคเตอร์ กับค่า w_{opt} ที่ได้จากการทดสอบการบดอัดแบบมาตรฐานพลีอคเตอร์ กับค่า w_{opt} ที่ได้จากการทดสอบการบดอัดโดยใช้ชุดทดสอบการบดอัดขนาดเล็ก พบว่าผลทดสอบการบดอัดโดยใช้ชุดทดสอบขนาดเล็กให้ผลเป็นที่น่าพอใจ เมื่อทำ

การวิเคราะห์ความถดถอยโดยใช้สมการ y เท่ากับ x พนว่าค่า R^2 มีค่าสูงกว่า 0.98 อย่างไรก็ตาม จากรูปจะพบว่า ความสัมพันธ์ของ $\rho_{d\max}$ จะอยู่ได้เส้น 1:1 เล็กน้อย ในขณะที่ความสัมพันธ์ของ w_{opt} ที่อยู่เหนือเส้น 1:1 เเละน้อยเหล็กัน ทั้งนี้เนื่องจากพลังงานต่อปริมาตรที่ใช้ในชุดทดสอบการบดอัดขนาดเล็กมีค่าน้อยกว่าพลังงานต่อปริมาตรที่ใช้ในแบบบดอัดมาตรฐานพื้อกเตอร์



(ก) เปรียบเทียบค่าความหนาแน่นแห้งสูงสุด



(ข) เปรียบเทียบค่าความชื้นที่เหมาะสม

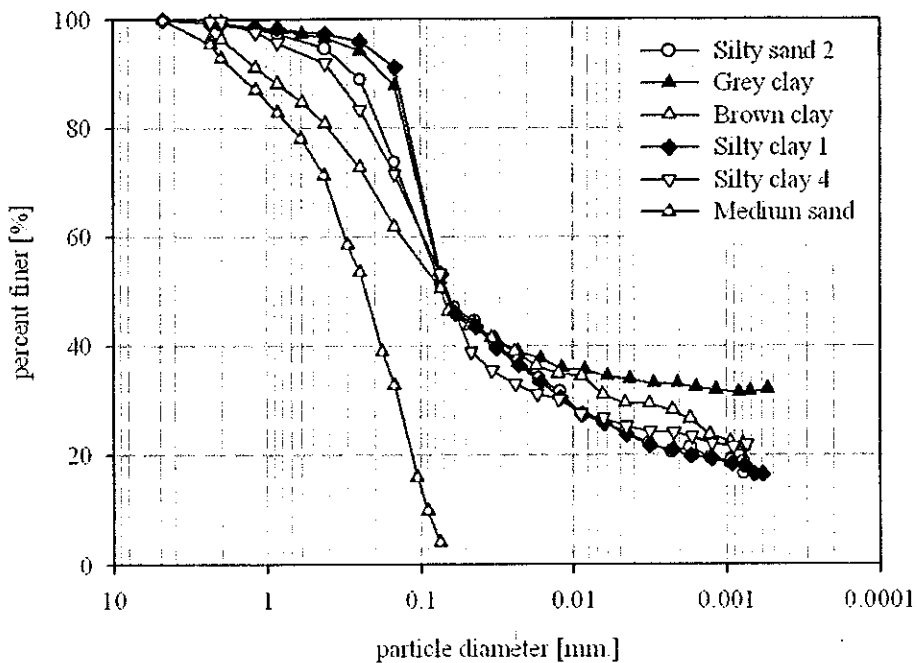
รูปที่ 5.2 เปรียบเทียบผลทดสอบการบดอัดที่ได้จากชุดทดสอบการบดอัดขนาดเล็ก และชุดทดสอบมาตรฐานพื้อกเตอร์

5.2 เปรียบเทียบผลการประมาณคุณลักษณะของดินปั้นกรวด

เพื่ออینยันการนำแผนภาพในรูปที่ 4.15 ไปใช้ในการประมาณคุณลักษณะการบดอัดแบบมาตรฐานพล็อกเตอร์ของดินปั้นกรวด จึงทำการทดสอบการบดอัดแบบมาตรฐานพล็อกเตอร์ กับดินทั้งสิ้น 6 ประเภทได้แก่ (1) Silty clay 1 (2) Silty sand 2 (3) Medium sand (4) Grey clay (5) Brown clay และ (6) Silty clay 4 ซึ่งมีคุณสมบัติทางกายภาพ และดัชนีดังตารางที่ 5.1 และมีการกระจายขนาดของเม็ดดินแสดงดังรูปที่ 5.3 ซึ่งดินแต่ละประเภทจะนำมาทดสอบให้มีปริมาณกรวดระหว่าง 30 ถึง 40 เปอร์เซ็นต์ โดยกรวดที่ใช้สมจะทำการเปลี่ยนแปลงสัดส่วนระหว่างกรวดขนาดเล็กและกรวดขนาดใหญ่คั่งแสดงในตารางที่ 4.4 แล้วทำการทดสอบการบดอัดแบบมาตรฐานพล็อกเตอร์ ผลการประมาณคุณลักษณะการบดอัดแบบมาตรฐานพล็อกเตอร์ที่เสนอ ให้ผลเป็นที่น่าพอใจในระดับหนึ่ง เมื่อเทียบกับผลทดสอบการบดอัดแบบมาตรฐานพล็อกเตอร์ โดยค่า $\rho_{d_{max}}$ และค่า w_{opt} ที่ได้จากการประมาณจะมีค่าสูงกว่าค่า w_{opt} ที่ได้จากการทดสอบบดอัดแบบมาตรฐานพล็อกเตอร์ไม่เกิน 5 เปอร์เซ็นต์ ดังแสดงในรูปที่ 5.4

ตารางที่ 5.1 คุณสมบัติพื้นฐานของดินตัวอย่างที่ใช้ในการทดสอบ

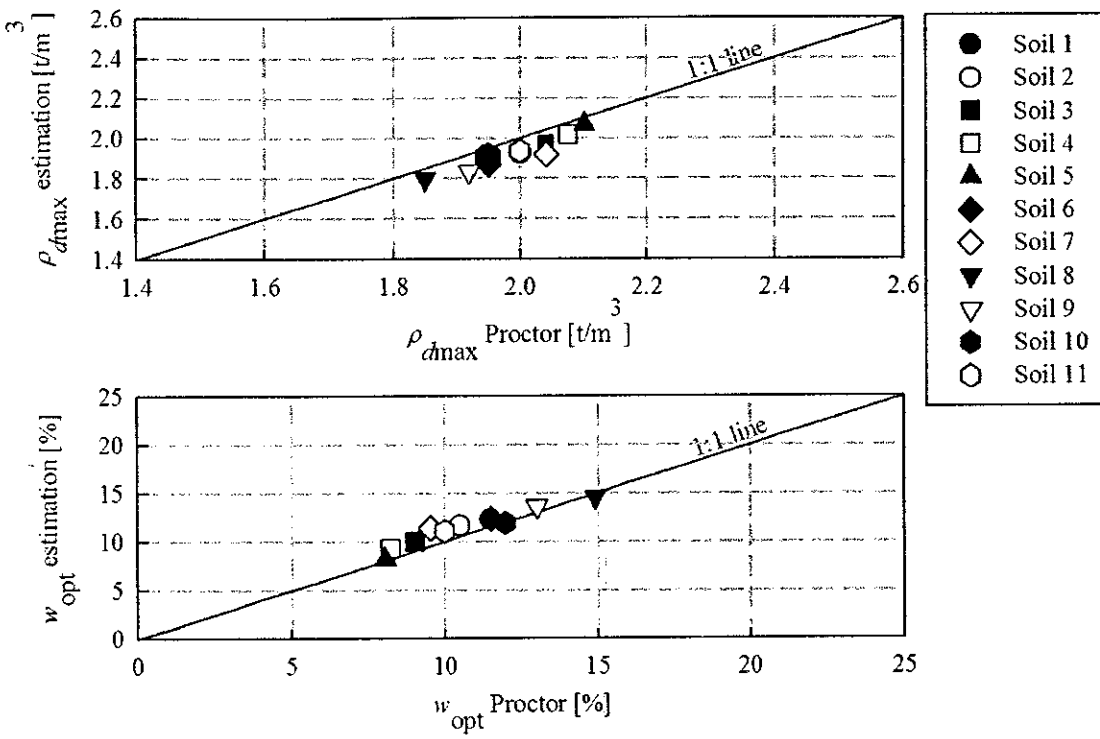
Soil type	LL [%]	PL [%]	PI [%]	G_s	Group symbol
Silty clay 1	28.7	19.4	9.3	2.72	CL
Silty sand 2	NP	NP	NP	2.69	SM
Medium sand	NP	NP	NP	2.72	SP
Grey clay	68.8	19.4	49.4	2.72	CH
Brown clay	61.6	18.7	42.9	2.74	CH
Silty clay 4	41.4	20	21.4	2.64	CL



รูปที่ 5.3 การกระจายขนาดของดินที่ทำการศึกษา

ตารางที่ 5.1 ตัวอย่างดินและกรวดที่ใช้ทดสอบดัชนีแบบมาตรฐานพล็อกเตอร์เพื่อเปรียบเทียบกับค่าที่ได้จากการประมาณ

Sample	Raw soil	Gravel mix.		Gravel content [%]
		Small [%]	Large [%]	
Soil 1	Silty clay 1	-	30	30
Soil 2	Silty clay 1	-	30	40
Soil 3	Silty sand 2	-	30	30
Soil 4	Silty sand 2	-	30	40
Soil 5	Medium sand	-	35	35
Soil 6	Grey clay	9	21	30
Soil 7	Grey clay	12	28	40
Soil 8	Brown clay	15	15	30
Soil 9	Brown clay	20	20	40
Soil 10	Silty clay 4	12	18	30
Soil 11	Silty clay 4	16	24	40



รูปที่ 5.4 เปรียบเทียบคุณลักษณะการบดอัดจากการประมาณและผลการทดสอบบดอัดแบบมาตรฐานพื้นก๊อกเตอร์

บทที่ 6

สรุป

จากการศึกษาอิทธิพลเนื่องจากขนาดของแบบบดอัด และนำไปใช้ในการพัฒนาชุดทดสอบบดอัดขนาดเล็ก และการศึกษาอิทธิพลของกรวดต่อผลการทดสอบบดอัด เพื่อใช้ในการเสนอวิธีการประมาณคุณลักษณะการบดอัดของดินปูนกรวด โดยชุดทดสอบการบดอัดขนาดเล็ก สามารถสรุปผลการวิจัยได้ดังนี้

6.1 การศึกษาอิทธิพลเนื่องจากขนาดของแบบบดอัดและการพัฒนาชุดทดสอบการบด อัดขนาดเล็ก

การเปลี่ยนแปลงคุณลักษณะของชุดทดสอบการบดอัดดินเท่านั้น จำนวนของชั้นบดอัดน้ำหนักก้อน ระบบทกของก้อน และ Diameter ratio; DR ไม่มีผลต่อผลการทดสอบบดอัด ยกเว้นการบดอัดดินโดยใช้ชุดทดสอบการบดอัดดินที่ DR เท่ากับ 1 จะทำให้ประสิทธิภาพการบดอัดสูงขึ้น และจากการศึกษาอิทธิพลเนื่องจากขนาดของแบบบดอัด สามารถเสนอชุดทดสอบการบดอัดดินขนาดเล็ก ซึ่งให้ผลทดสอบการบดอัดดินใกล้เคียงกับผลทดสอบการบดอัดดินขนาดเล็กที่เสนอสามารถลดปริมาณดินตัวอย่างที่ใช้ทดสอบและจำนวนครั้งในการบดอัดได้ โดยใช้ปริมาณดินตัวอย่างเท่ากับ 2.5 กิโลกรัม และจำนวนครั้งในการบดอัดเท่ากับ 14 ครั้งต่อชั้น ซึ่งลดลงจากการทดสอบบดแบบมาตรฐานเพล็อกเตอร์ที่ใช้ปริมาณดินตัวอย่างเท่ากับ 4 กิโลกรัม และใช้จำนวนครั้งในการบดอัดเท่ากับ 25 ครั้งต่อชั้น สำหรับการทดสอบบดอัดดินในแบบขนาดเด็นผ่านศูนย์กลางเท่ากับ 101.6 มิลลิเมตร(4 นิ้ว) อย่างไรก็ตามชุดทดสอบการบดอัดดินขนาดเล็กที่เสนอสามารถใช้ทดสอบบดอัดได้ดีกับดินที่มีขนาดเม็ดคิณใหญ่สุดไม่เกิน 4.75 มิลลิเมตร

6.2 การศึกษาอิทธิพลของกรวดต่อผลการทดสอบบดอัด และการถ่ายทอดผลลัพธ์งานบด อัดไปสู่ดินเม็ดละเอียดในการทดสอบบดอัดดินปูนกรวด

การบดอัดดินเมื่อมีปริมาณกรวดเพิ่มขึ้น ค่า $\rho_{d_{max}}$ จะเพิ่มขึ้นและค่า ω_{opt} จะลดลง ในการบดอัดดินที่มีปริมาณกรวดไม่เกิน 20 เปอร์เซ็นต์ สามารถบดอัดได้ดีโดยไม่มีผลกระทบจากปริมาณกรวด เมื่อปริมาณกรวดเพิ่มขึ้นมากกว่า 20 เปอร์เซ็นต์ กรวดจะขัดขวางการบดอัด ซึ่งจากการศึกษาอิทธิพลของกรวดต่อผลการทดสอบบดอัด พลังงานบดอัดสามารถถ่ายทอดไปสู่ส่วนละเอียดได้ดีในการบดอัดดินที่มีปริมาณกรวดผสมอยู่ไม่เกิน 20 เปอร์เซ็นต์ เมื่อปริมาณกรวดเพิ่มขึ้นมากกว่า 20 เปอร์เซ็นต์ พลังงานที่ถ่ายทอดไปสู่ส่วนละเอียดจะมีค่าลดลงตามปริมาณกรวดที่เพิ่มขึ้น เนื่องจากการบดอัดดินที่มีปริมาณกรวดผสมมากกว่า 20 เปอร์เซ็นต์ เม็ดกรวดจะขัดกันทำให้ขัดขวางการเรียงตัวของเม็ดคิณและกรวดยังคงซับพลังงานบดอัดที่ถ่ายทอดไปสู่ส่วนละเอียด ทำ

ให้ความหนาแน่นแห้งของดินบดอัดคัตกรวบมีค่าลดลงและความชื้นของดินบดอัดคัตกรวบมีค่าเพิ่มขึ้น

6.3 การประมาณคุณลักษณะการบดอัดของดินปนกรวด

ความสัมพันธ์ระหว่างผลลัพธ์งานบดอัดที่ถ่ายทอดไปสู่ส่วนละเอียดกับปริมาณกรวดที่ผสมอยู่ในดินที่เสนอในวิทยานิพนธ์นี้ สามารถนำไปประมาณค่าความหนาแน่นแห้งสูงสุดและความชื้นที่เหมาะสมของดินปนกรวดได้ และพบว่าค่าที่ได้จากการประมาณมีค่าสูงกว่าค่าที่ได้จากการทดสอบเดือนนี้อย

ເອກສາຮອ້າງອີງ

- ASTM D 698-91,1995: **Test method for laboratory compaction characteristics of soil using standard effort [12,400 ft-lb/ft³(600kN·m/m³)].** Annual Books of ASTM Standards, ASTM international, West Conshohocken, PA,Sec. 4, Vol. 04.08, pp. 69-76.
- ASTM D 1557-91,1995: **Test method for laboratory compaction characteristics of soil using modified effort [56,400 ft-lb/ft³(2,700kN·m/m³)].** Annual Books of ASTM Standards, ASTM international, West Conshohocken, PA,Sec. 4, Vol. 04.08, pp. 118-125.
- Blotz, L. R., Benson, C. and Boutwell, G. (1998). **Estimating optimum water content and maximum dry unit weight for compacted clays.** Journal of Geotechnical Engineering, Vol. 124, No. 9, pp. 907-912.
- Boutwell, G. (1961). **Effects of variation of fill construction on the material properties and the subsequent fill performance.** Independent Study Rep. School of Civil Engineering, Georgia Institute of Technology, Atlanta, GA.
- Diaz-Zorita, M., Grove, J.H. and Perfect, E. (2001). **Laboratory compaction of soils using a small mold procedure.** Soil Science Society of American Journal, Vol. 65, No.6, pp. 1593-1598.
- Donaghe, R. T. and Townsend, F. C. (1976). **Scalping and replacement effect on the compaction characteristics of earth-rock mixtures.** Special Technical Publication No. 599, American Society for Testing and Materials, pp. 248-277.
- Donaghe, R.T. and Torrey, V.H. (1994). **A compaction test method for soil-rock mixtures in which equipment size effects are minimized.** Geotechnical Testing Journal, Vol. 17, No. 3, pp. 363-370.
- Garga, V. K. and Madureira, C. J.(1985). **Compaction characteristics of river terrace gravel.** Journal of Geotechnical Engineering, Vol. 111, No. 8, pp. 987-1007.
- Hilf, J.W. (1956). **An Investigation of pore-water pressurein compacted cohesive soils.** Technical Memorandum 654, U.S. Department of Interior, Bureau of Reclamation, Denver, Colorado.
- Holz, W. G. and Lowitz, C. W. (1957). **Compaction characteristics of gravelly soils.** STP no. 232. American Society for Testing and Materials, Philadelphia, Pennsylvania, pp. 70-83.

Horpibulsuk, S., Katkan, W. and Naramitkomburee, A. (2009). **Modified Ohio's Curves: A rapid estimation of compaction curves for coarse- and fine-grained soils.** Geotechnical Testing Journal, Vol. 32, No. 1, pp. 1-12.

Jones, C.W. (1954). **The Permeability and settlement of laboratory specimens of sand gravel mixtures.** Special Technical Publication No.163, American Society for Testing and materials, pp. 68-78.

Shockley, W. G. (1948). **Correction of unit weight and moisture content for soils containing gravel sizes.** Technical Data Sheet No. 2, U.S. Army Engineer Waterways Experiment Station.

Sridharan, A. and Sivapullaiah, P. V. (2004). **Mini compaction test apparatus for fine grained soils.** Geotechnical Testing Journal, Vol. 28, No.3, pp. 240-246.

Winter, M. G., Holmgeirsdtir, Th. and Suhardi. (1998). **The effect of large particles on acceptability for earthworks compaction.** Quarterly Journal of Engineering Geology, Vol. 31, pp. 247-268.

ประวัตินักวิจัย

ดร.อวรุทธิ์ ชินกุลกิจนิวัฒน์ เกิดเมื่อวันที่ 25 ตุลาคม 2516 สำเร็จการศึกษาระดับปริญญาตรีวิศวกรรมศาสตร์บัณฑิต(เกียรตินิยม) สาขาวิชาวิศวกรรมโยธา จากมหาวิทยาลัยขอนแก่น ในปี 2539 วิศวกรรมศาสตร์มหบัณฑิต สาขาวิศวกรรมปูฐพี จากสถาบันเทคโนโลยีแห่งเอเชีย ในปี 2541 และวิศวกรรมคุณภูบัณฑิต สาขาวิศวกรรมโยธา จากมหาวิทยาลัยเทคโนโลยีราชมงคลอสเตรีย ในปี 2548

ดร.อวรุทธิ์ ชินกุลกิจนิวัฒน์ ได้เริ่มปฏิบัติงานในตำแหน่งอาจารย์ สาขาวิศวกรรมโยธา สำนักวิชาวิศวกรรมศาสตร์ มหาวิทยาลัยเทคโนโลยีสุรนารี ในปี 2541 ปัจจุบันดำรงตำแหน่งผู้ช่วยศาสตราจารย์ ผลงานวิจัยที่ผ่านมาคือแบบจำลองการไหลและการเสียบูปในดินที่ไม่อิ่มน้ำด้วยน้ำ การหาคุณลักษณะการอุ้มน้ำในดินที่ไม่อิ่มน้ำด้วยน้ำโดยใช้แบบจำลองย้อนกลับ ปัจจุบันมีผลงานวิจัยตีพิมพ์ในระดับนานาชาติกว่า 10 เรื่อง และมีส่วนร่วมในโครงการก่อสร้างและโครงการที่ปรึกษาหลายโครงการ